



⑪ Veröffentlichungsnummer: **0 657 989 A1**

12

Int. Cl.⁶: **H02P 6/14**, **H02P 6/00**,
H02H 7/093

71 Anmelder: PAPST-MOTOREN GMBH & CO. KG
Postfach 1435
D-78106 St Georgen (DE)

**(72) Erfinder: Jeske, Frank, Dipl.-Ing.
Dorfbergstrasse 20
D-78144 Tennenbronn (DE)**

**Erfinder: Karwath, Arno, Dipl.-Ing.
Grosshofenstrasse 10
D-78628 Rottweil (DE)**

**Erfinder: Rappenecker, Hermann, Dipl.-Ing.
Krankenhausstrasse 26
D-78147 Vöhrenbach (DE)**

57) Bei einem kollektorlosen Gleichstrommotor ist ein Speicherglied vorgesehen, das jeweils ab Erreichen einer bestimmten Rotorstellung geladen wird. Hierbei ändert sich eine Größe an diesem Speicherglied. Diese wird mit einer anderen Größe verglichen, die von einem gewünschten Parameter abhängig ist. Bei Erreichen eines bestimmten Vergleichskriteriums wird ein Vergleichssignal erzeugt. Der Abstand zwischen dem Beginn dieses Vergleichssignals und einer zweiten vorgegebenen Rotorstellung, die zeitlich auf die erste vorgegebene Rotorstellung folgt, wird gemessen, und anhand dieses Meßwerts wird die Bestromung des kollektorlosen Gleichstrommotors beeinflusst.

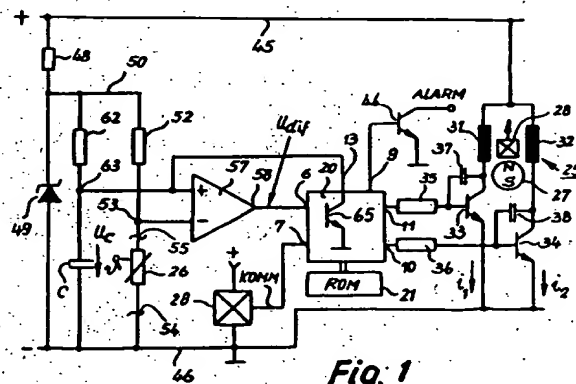


Fig. 1

Die Erfindung betrifft ein Verfahren zur Beeinflussung der Drehzahl eines kollektorlosen Gleichstrommotors, und einen kollektorlosen Gleichstrommotor zu seiner Durchführung.

Vielfach wird gewünscht, daß kollektorlosen Gleichstrommotoren ihre Drehzahl automatisch an bestimmte äußere Bedingungen anpassen. Ein Beispiel ist die Anpassung der Drehzahl an eine gemessene Temperatur, wenn der Motor einen Lüfter antreibt. Wird die Temperatur über einen Sensor gemessen, so kann der Fall auftreten, daß der Sensor schadhaft wird oder die Verbindung zu ihm unterbrochen wird, und dann ist es notwendig, daß der Motor automatisch eine höhere Drehzahl erhält, um z.B. Schäden durch mangelnde Kühlung zu vermeiden. Solche und ähnliche Forderungen müssen freilich mit sehr einfachen und preiswerten Mitteln erfüllt werden, d.h. teure, aufwendige Lösungen, die mit Sicherheit möglich wären, werden vom Markt nicht akzeptiert. Auch wird häufig die Forderung erhoben, daß solche Anordnungen im Inneren des Motors untergebracht werden müssen, was technisch schwierig zu realisieren ist.

Aus der EP 425 479 A2 ist es bekannt, bei einem kollektorlosen Gleichstrommotor für einen temperaturgeführten Lüfter mit abnehmender Temperatur die Endstufenschaltung eine längere Zeit abzuschalten und damit eine der Temperatur umgekehrt proportionale Einschaltverzögerung nach dem Kommutierungszeitpunkt zu bewirken. Dieser Grundgedanke wird mit Vorteil auch bei der vorliegenden Erfindung angewendet. Zur Offenbarung wird hingewiesen auf Spalte 18, Zeilen 19 bis 33 dieser EP-A 2. (Dieser Gedanke ist zeitlich nach der EP 425 479 A2 sowohl vom DPA wie vom EPA erneut patentiert worden, vgl. z.B. die DE 37 83 931 T2, oder die DE 40 32 988 C2).

Es ist deshalb eine Aufgabe der Erfindung, ein neues Verfahren zur Beeinflussung der Drehzahl eines kollektorlosen Gleichstrommotors, und einen solchen Motor zur Durchführung eines solchen Verfahrens, bereitzustellen.

Nach der Erfindung wird die gestellte Aufgabe gelöst durch ein Verfahren zur Beeinflussung der Drehzahl eines kollektorlosen Gleichstrommotors, mit folgenden Schritten:

Jeweils im Bereich einer ersten vorgegebenen Rotorstellung wird eine Größe, insbesondere die Spannung an einem Kondensator, auf einen Anfangswert gesetzt und anschließend zeitabhängig verändert; diese Größe wird mit einer anderen Größe verglichen, welche insbesondere von einer zu beeinflussenden Größe abhängig ist, z.B. von einer Temperatur, um bei einem vorgegebenen Vergleichskriterium ein Vergleichssignal zu erzeugen; die zeitliche Differenz zwischen dem Auftreten des Vergleichssignals und dem Zeitpunkt einer auf die

erste vorgegebene Rotorstellung folgenden zweiten vorgegebenen Rotorstellung, oder ein dieser zeitlichen Differenz angenäherter Wert, sowie das Vorzeichen dieser zeitlichen Differenz, werden erfaßt; anhand dieser zeitlichen Differenz und ihres Vorzeichens werden nach mindestens einer vorgegebenen Regel Einschaltung und/oder Abschaltung des Statorstroms des Gleichstrommotors zeitlich gesteuert. Ein solches Verfahren eignet sich besonders gut zur Realisierung mit einfachen Mitteln, z.B. mit einem einfachen Mikroprozessor, weil die zeitliche Differenz zwischen dem Auftreten des Vergleichssignals und dem Zeitpunkt der zweiten vorgegebenen Rotorstellung bei normalem Lauf des Motors um Null schwankt und folglich digital mit einem Zähler kleiner Kapazität schnell erfaßt und ausgewertet werden kann. Anders gesagt stellt diese zeitliche Differenz bereits die Differenz zwischen gewünschter Drehzahl und tatsächlicher Drehzahl dar, also die sogenannte Regelabweichung, und wenn diese zeitliche Differenz gleich Null wird, läuft der Motor mit der gewünschten Drehzahl. Ist diese zeitliche Differenz ungleich Null, so repräsentiert ihr Vorzeichen die Richtung der Drehzahlabweichung (zu schnell oder zu langsam), und ihr Absolutwert ist ein Maß für die Größe der Regelabweichung, so daß eine einfache Auswertung möglich ist.

Mit besonderem Vorteil geht man gemäß der Erfindung so vor, daß das Speicherglied entweder direkt nach Auftreten des Vergleichssignals oder dann auf den Anfangswert gesetzt wird, wenn eine vorgegebene Rotorstellung, oder eine aus einer Mehrzahl von vorgegebenen Rotorstellungen, zeitlich mit dem Vorhandensein des Vergleichssignals zusammenfällt. Beide Maßnahmen sind einfach und erlauben eine sichere Messung, wobei die Rücksetzung direkt nach Auftreten des Vergleichssignals insgesamt bessere Ergebnisse zu bringen scheint.

Bei einer anderen Weiterbildung wird der Beginn der zeitabhängigen Veränderung der Größe durch das Erreichen einer vorgegebenen Rotorstellung oder einer aus einer Mehrzahl von vorgegebenen Rotorstellungen gestartet. Dieser Start aus einer vorgegebenen Rotorstellung heraus erleichtert die nachfolgende Auswertung in ganz ungewöhnlichem Maße und wirkt daher stark vereinfachend und beschleunigend auf das erfindungsgemäße Verfahren.

Eine weitere starke Beschleunigung des Verfahrensablaufs ergibt sich bei einem Verfahren, bei welchem während der Erfassung der zeitlichen Differenz zwischen dem Auftreten des Vergleichssignals und der auf die erste vorgegebene Rotorstellung folgenden zweiten vorgegebenen Rotorstellung mindestens ein Regelparameter, insbesondere der P-Faktor einer Proportionalregelung und/oder

der I-Faktor einer Integralregelung, fortlaufend im Sinne einer Anpassung an die gemessene zeitliche Differenz und deren Vorzeichen verändert wird; so daß nach Ablauf dieser zeitlichen Differenz bereits ein geänderter Parameter vorliegt. Dadurch, daß Messung der zeitlichen Differenz und Anpassung der Regelparameter nicht nacheinander erfolgen, sondern zeitlich parallel, liegen am Ende der Messung bereits die angepaßten Parameter vor und können anschließend sofort weiterverarbeitet werden. Da bei einem kollektorlosen Gleichstrommotor zweckmäßig alle Vorgänge eines Zyklus innerhalb von 360° el. abgeschlossen sein sollten, stellt dies eine sehr wichtige und vorteilhafte Weiterbildung der Erfindung dar.

Im gleichen Sinne ist eine Weiterbildung des Verfahrens vorteilhaft, bei welcher in einem ersten Drehwinkelbereich des Rotors der mindestens eine Parameter dann verändert wird, wenn die Drehzahl des Motors zu hoch ist, und in einem vom ersten Drehwinkelbereich verschiedenen, zweiten Drehwinkelbereich der mindestens eine Parameter dann verändert wird, wenn die Drehzahl zu niedrig ist. Dies nutzt die Zeit optimal aus, die während einer Drehung des Rotors von 360° el. zur Verfügung steht und gestattet ist, unterschiedlichen Drehwinkelbereichen unterschiedliche Berechnungsroutinen zuzuordnen, wobei eine weitere vorteilhafte Ausgestaltung Gegenstand des Anspruchs 6 ist. Auch kann mit Vorteil die Berechnungsroutine des ersten Drehwinkelbereichs gegenüber der Berechnungsroutine des zweiten Drehwinkelbereichs verriegelt werden in dem Sinne, daß eine der beiden Berechnungsvorroutinen Vorrang vor der anderen hat, und zwar gewöhnlich die Routine für Drehzahl zu niedrig.

Besonders für ein- und zweisträngige Motoren eignet sich ein Verfahren, bei welchem Rechenschritte, z.B. für die Berechnung einer Stellgröße für den Regelvorgang, oder die Berechnung eines Alarmsignals bei Drehzahlunterschreitung, innerhalb mindestens eines vorgegebenen Drehstellungsbereichs des Rotors ausgeführt werden, bei dem mindestens ein Strang des Motors stromlos ist und bevorzugt alle Stränge des Motors stromlos sind, wobei dieses Verfahren noch gemäß Anspruch 8 in sehr vorteilhafter Weise weitergebildet werden kann.

Eine weitere Lösung der gestellten Aufgabe betrifft ein Verfahren mit folgenden Schritten:

- a) In einer der Bestromung eines vorgegebenen Stranges vorhergehenden Zeitspanne wird der zeitliche Abstand zwischen zwei aufeinanderfolgenden Kommutierungszeitpunkten, oder ein diesem zeitlichen Abstand etwa entsprechender Wert - im folgenden Kommutierungs-Zeitwert genannt - erfaßt und gespeichert;

b) Bei der Bestromung des vorgegebenen Stranges wird die Zeitdauer der Bestromung etwa ab der Kommutierung fortlaufend erfaßt;

c) bei Erreichen einer Zeitdauer der Bestromung, welche um eine vorgegebene Zeitspanne kleiner ist als der Kommutierungs-Zeitwert, wird die Bestromung dieses Stranges abgeschaltet.

Dieses Verfahren - es eignet sich besonders für einen Motor, dessen Rotor eine trapezförmige Magnetisierung mit engen Lücken zwischen den Polen aufweist - reduziert die Laufgeräusche des Motors und führt auch zu einer Reduzierung von Störungen durch Abschaltspitzen. Die genannte Zeitdauer kann dabei mit Vorteil durch das Ausgangssignal eines Drehzahlreglers variiert werden, was einen besonders ruhigen Motorlauf ergibt, und im Bereich der Endstufentransistoren für die einzelnen Stränge können mit Vorteil Verzögerungsmittel vorgesehen werden, welche den Abschaltvorgang der Bestromung verlangsamen.

Eine weitere Lösung der gestellten Aufgabe betrifft ein Verfahren mit folgenden Schritten:

a) Schritte, welche einem Zustand mit zu niedriger Drehzahl zugeordnet sind, werden mindestens teilweise in mindestens einem ersten vorgegebenen Drehstellungsbereich des Rotors ausgeführt;

b) Schritte, welche einem Zustand mit zu hoher Drehzahl zugeordnet sind, werden mindestens teilweise in mindestens einem zweiten vorgegebenen Drehstellungsbereich des Rotors ausgeführt, welcher zweite Drehstellungsbereich vom ersten Drehstellungsbereich verschieden ist.

Dies ermöglicht es, die verschiedenen Abläufe optimal den Abläufen anzupassen, die bei der Umdrehung eines Rotors durchzuführen sind. Eine bevorzugte Weiterbildung ist dabei Gegenstand des Anspruchs 14.

Der Gegenstand des Anspruchs 15 ermöglicht es, zwischen den Werten eines Integralfaktors zu diskriminieren, die bei niedrigen Drehzahlen auftreten, und solchen, die einem irregulären Zustand des Motors entsprechen und innerhalb sehr kurzer Zeit einen sehr hohen Wert des Integralfaktors bewirken, der dann entsprechende Abhilfemaßnahmen auslösen kann. Eine solche Abhilfemaßnahme ist Gegenstand der Ansprüche 16 und 17.

Anspruch 18 betrifft ein erfindungsgemäßes Verfahren, mittels dessen erkannt werden kann, ob ein Motor blockiert ist und dann eine automatische Abschaltung erfolgt. Die Ansprüche 19 und 20 betreffen eine vorteilhafte Weiterbildung dieses Verfahrens.

Anspruch 21 betrifft ein grundlegendes Verfahren nach der Erfindung, das gleichzeitig mit der Steuerung von Vorgängen auch die Messung des zeitlichen Ablaufs ermöglicht, indem man einer Programmschleife eine vorgegebene zeitliche Län-

ge gibt. Dies wird dann in den Ansprüchen 22 bis 27 weiterentwickelt und ermöglicht eine Vielzahl hochinteressanter Lösungen mit sehr schnell arbeitenden Algorithmen einfacher Struktur.

Ein kollektorloser Gleichstrommotor, welcher die eingangs gestellte Aufgabe löst, ist Gegenstand des Anspruchs 28. Ein solcher Motor hat einen sehr einfachen Aufbau. Weiterbildungen dieses Motors sind Gegenstände der Ansprüche 29 bis 32.

Weitere Einzelheiten und vorteilhafte Weiterbildungen der Erfindung ergeben sich aus den im folgenden beschriebenen und in der Zeichnung dargestellten, in keiner Weise als Einschränkung der Erfindung zu verstehenden Ausführungsbeispielen, sowie aus den übrigen Unteransprüchen. Es zeigt:

- Fig. 1 ein Prinzipschaltbild einer bevorzugten Ausführungsform eines erfindungsgemäßen kollektorlosen Gleichstrommotors,
- Fig. 2 ein Schaubild, welches den Verlauf der Drehzahl über der Temperatur zeigt, welcher Verlauf bei einem temperaturgeführten Lüfter angestrebt wird.
- Fig. 3 eine Darstellung der Statorströme beim Motor nach Fig. 1 und bei maximaler Drehzahl, und mit der bevorzugten Stromabschaltung in einem Abstand D vor Erreichen der Kommutierungszeitpunkte t_a bzw. t_b ,
- Fig. 4 eine Variante zu einer Einzelheit der Fig. 1,
- Fig. 5 eine Darstellung von Einzelheiten eines beim bevorzugten Ausführungsbeispiel verwendeten Mikroprozessors,
- Fig. 6 eine Darstellung von Kurvenverläufen für den Fall, daß der Motor mit einer Drehzahl läuft, die kleiner ist als die gewünschte Drehzahl,
- Fig. 7 eine Darstellung analog Fig. 6 und für den Fall, daß der Motor mit der gewünschten Drehzahl ("Soll-Drehzahl") läuft,
- Fig. 8 eine Darstellung analog Fig. 6 und 7 für den Fall, daß der Motor zu schnell läuft,
- Fig. 9 eine Darstellung analog den Fig. 6 bis 8 für den Fall, daß der Motor mit der zulässigen Minimaldrehzahl läuft,
- Fig. 10 eine Darstellung analog Fig. 6 bis 9 für den Fall, daß der Temperatursensor defekt oder seine Anschlußleitung unterbrochen ist,
- Fig. 11 eine synoptische Darstellung des Signals U_{dl} für verschiedene Fälle, wo-

Fig. 12

bei jeweils n die aktuelle Drehzahl und n^* die gewünschten Drehzahl ist, eine Darstellung, welche zeigt, wie abhängig von der Drehstellung des Rotors verschiedene Rechenvorgänge ("Routinen") vom Mikroprozessor abgearbeitet werden, und zwar für den Fall, daß die Drehzahl zu niedrig ist,

Fig. 13

eine Darstellung analog Fig. 12 für den Fall, daß die Drehzahl zu hoch ist,

Fig. 14

eine Darstellung des Schaltbilds eines bevorzugten Ausführungsbeispiels mit verschiedenen vorteilhaften Einzelheiten,

Fig. 15

ein Flußdiagramm von bei der Initialisierung des Mikroprozessors ablaufenden Vorgängen,

Fig. 16

eine Routine zur Implementierung von Fig. 13,

Fig. 17

eine Routine zur Implementierung von Fig. 12,

Fig. 18

eine Routine, welche sich jeweils an die Routinen der Fig. 16 und 17 anschließt,

Fig. 19

eine Routine zur Berechnung einer Stellgröße PI für die Drehzahlregelung, oder für die Steuerung der Motordrehzahl,

Fig. 20

eine Routine zur Berechnung eines Alarmsignals,

Fig. 21

Schaubilder zur Erläuterung der Flußdiagramme nach den Fig. 15 bis 19,

Fig. 22

ein Flußdiagramm analog Fig. 16, aber mit eingezeichneten NOP-Befehlen,

Fig. 23

ein Flußdiagramm analog Fig. 17, aber mit eingezeichneten NOP-Befehlen,

Fig. 24

ein Diagramm analog Fig. 12 zur Veranschaulichung der Vorgänge, die bei aufeinanderfolgenden Kommutierungsphasen ablaufen, und

Fig. 25

ein Schaltbild analog Fig. 1 für den Fall, daß der Motor nur mit seiner maximalen Drehzahl betrieben werden soll, also ohne Drehzahlregelung, wobei aber die Alarmfunktion, die Blockiersicherung, und das leistungslose Ein- und Ausschalten ebenso wie bei Fig. 1 arbeiten, d.h. der Programmablauf bleibt für diesen Fall gegenüber Fig. 1 unverändert.

Fig. 1 zeigt das Grundprinzip der Erfindung in einer stark abstrahierten Darstellung. Mit 20 ist ein Mikroprozessor bezeichnet, dem ein ROM 21 zuge-

ordnet ist, in dem für den Betrieb eines Motors 25 notwendige Befehle gespeichert sind. Diese Befehle, bzw. die von ihnen gesteuerten Operationen, werden nachfolgend anhand von Flußdiagrammen erläutert werden.

Fig. 5 zeigt die Anschlüsse eines Mikroprozessors vom Typ 17103GS, wie er bei der vorliegenden Erfindung verwendet werden kann. Dieser Mikroprozessor 20 enthält ein ROM mit einer Speicherkapazität von 512 Worten zu je 16 Bits. Deshalb ist dieses ROM hier nicht separat dargestellt. Die Anschlüsse und die Bezugszeichen für diesen Mikroprozessor sind Fig. 5 direkt zu entnehmen und werden deshalb nicht zusätzlich beschrieben. Diese Bezugszeichen gemäß Fig. 5 werden auch in Fig. 1 verwendet, so daß zu ihrer Erläuterung auf Fig. 5 hingewiesen werden kann. Dies gilt auch für die Bezeichnung der einzelnen Ports. Die Bezugszeichen beziehen sich auf den Typ 17103GS, einen üblichen Mikroprozessor mit vier Bit Datenbreite.

Die Anordnung nach Fig. 1 dient dazu, einen Motor 25 temperaturabhängig so zu steuern bzw. zu regeln, daß dieser Motor bei niedrigen Temperaturen mit niedriger Drehzahl n läuft, bei hohen Temperaturen dagegen mit hoher Drehzahl. Eine bekannte Anwendung eines solchen Motors ist der Antrieb eines Gerätelüfters. Fig. 2 zeigt einen bevorzugten Verlauf der Drehzahl über der Temperatur; dieser Verlauf bedarf keiner zusätzlichen Erläuterung. Die Motordrehzahl n wird hierbei nach unten hin auf einen Wert n_{\min} begrenzt, z.B. auf den Wert n_{\min} , und nach oben auf den Wert n_{\max} , d.h. sie kann z.B. zwischen 1400 und 2800 U/min liegen, wenn es sich um einen Gerätelüfter handelt. Oberhalb von 50 °C wird gewöhnlich die maximale Drehzahl verlangt, wobei es sich um die höchste mögliche Drehzahl des Motors 25 handelt, die gewöhnlich nicht geregelt wird, aber im Rahmen der Erfindung auch geregelt werden könnte. Naturgemäß kann die Anordnung nach Fig. 1 auch zur Regelung einer konstanten Drehzahl verwendet werden. Hierzu muß nur der NTC-Widerstand 26 durch einen konstanten Widerstand ersetzt werden.

Fällt die Drehzahl des Motors 25 weit unter den unteren Grenzwert, z.B. durch einen Lager Schaden des Motors, so wird gewünscht, daß die Anordnung ein Alarmsignal abgibt, damit keine Schäden durch Überhitzung entstehen können, wenn der Motor einen Lüfter antreibt und folglich dieser Lüfter zu wenig Luft fördert. Auch wird gewünscht, daß ein solcher Motor bei Schäden an seinem Temperatursensor 26, der hier als NTC-Widerstand ausgebildet ist, automatisch mit der Drehzahl n_{\max} läuft. Dies gilt z.B., wenn die Leitungsverbindung zum Temperatursensor 26 unterbrochen ist, was bei der dargestellten Anordnung an sich ein Signal für eine sehr niedrige Drehzahl

bedeutet, der nach der Logik der verwendeten Regelanordnung die Drehzahl n_{\min} entsprechen müßte. Diesem Signal entspricht bei der vorliegenden Erfindung die Drehzahl n_{\max} . Ferner wird oft gewünscht, daß der Motorstrom unterbrochen wird, wenn der Motor blockiert ist, was man auch als "Blockiersicherung" bezeichnet.

Der Motor 25 hat bevorzugt einen permanentmagnetischen Rotor 27, welcher einen Rotorstellungssensor 28 steuert, z.B. einen Hall-IC.

Dieser ist in Fig. 1 zweimal dargestellt, um das Verständnis zu erleichtern. Sein Ausgangssignal KOMM wird dem entsprechenden Eingang (Port) 7 des Mikroprozessors 20 zugeführt. Dieses Signal KOMM steuert die Kommutierung der Ströme i_1 und i_2 in zwei Statorwicklungssträngen 31 bzw. 32 des Motors 25.

Wie die Fig. 6 und 7 beispielhaft zeigen, bewirkt z.B. ein niedriges Rotorstellungssignal (KOMM = L), daß nur der Strang 31 eingeschaltet werden kann (Strom i_1), und ein hohes Rotorstellungssignal (KOMM = H) bewirkt, daß nur der Strang 32 eingeschaltet werden kann (Strom i_2). Die Einschaltedauer dieser Ströme i_1 und i_2 hängt von der Temperatur am Temperatursensor 26 und von der Belastung des Motors 25 ab, wie das nachfolgend beschrieben wird.

Zur Steuerung der Ströme i_1 bzw. i_2 dienen, wie dargestellt, zwei npn-Leistungstristoren 33, 34. Ihre Basen sind jeweils über einen Widerstand 35 bzw. 36 mit den Ausgängen (Ports) 9 bzw. 10 des Mikroprozessors 20 verbunden, welche im Betrieb die Treibersignale out1 bzw. out2 abgeben. Ferner ist jeweils zwischen Kollektor und Basis der Transistoren 33, 34 ein Kondensator 37 bzw. 38 geschaltet, der zusammen mit dem betreffenden Widerstand 35 bzw. 36 als Verzögerungsglied bei der Abschaltung des betreffenden Transistors 33 oder 34 dient.

Hierzu wird auf Fig. 3 verwiesen, welche die Ströme i_1 und i_2 bei Vollast zeigt, also bei maximaler Drehzahl.

In Fig. 3 sind die Kommutierungszeitpunkte mit t_a und t_b bezeichnet. Wird der Strom i_1 erst kurz vor dem Kommutierungszeitpunkt t_a abgeschaltet und kein Kondensator 37 verwendet, so ergibt sich eine Abschalt-Stromspitze 40, und der Motor erzeugt starke Geräusche.

Wird dagegen der Strom i_1 zu einem Zeitpunkt abgeschaltet, der um die - übertrieben dargestellte - Zeitspanne D vor dem Kommutierungszeitpunkt t_a liegt, und die RC-Kombination 35, 37 wird verwendet, so ergibt sich der gestrichelt dargestellte Stromverlauf 42, und der Motor 25 läuft wesentlich leiser. Dasselbe gilt - wegen der Symmetrie der Schaltung - für den Strom i_2 . Beide Maßnahmen werden erfindungsgemäß in bevorzugter Weise kombiniert, um einen leisen Lauf des Motors 25 zu

erreichen.

Der Abstand D kann in gleicher Weise durch den Regler drehzahlabhängig verändert werden, wie das nachfolgend für den Wert PI (z.B. Fig. 21d) detailliert beschrieben wird. Hierzu kann man z.B. die Hälfte des berechneten Wertes PI zur Verzögerung vor dem Einschalten des Stromes verwenden, und die andere Hälfte zum vorfrühten Ausschalten, als variablen Wert D. Dies optimiert den Motor und reduziert seine Laufgeräusche noch stärker, und eignet sich daher besonders für Motoren mit einer eher sinusförmigen Magnetisierung des Rotors 27. Der Rotor 27 hat bevorzugt eine trapezförmige Magnetisierung mit engen Lücken zwischen den Magnetpolen, um eine entsprechende trapezförmige Gegen-EMK zu erhalten. (Die Gegen-EMK wird auch als die induzierte Spannung bezeichnet.) Diese Maßnahme verbessert den Wirkungsgrad und bewirkt ebenfalls eine Geräuschkürzung. Die Ströme i_1 , i_2 gemäß Fig. 3 sind bei einem Motor mit einer solchen Magnetisierung des Rotors 27 gemessen. (Eine solche trapezförmige Magnetisierung mit engen Pollücken wird gelegentlich auch im Jargon des Elektromaschinenbaus als "rechteckförmige Magnetisierung" bezeichnet.)

Zur Erläuterung einer bevorzugten Motorkonstruktion für die dargestellte Bauweise mit zwei Strängen 31, 32 kann z.B. auf die DE 23 46 380 C2 verwiesen werden, oder auf Motoren mit ebenem Luftspalt gemäß der DE 22 25 442 C3. Es handelt sich um zweipulsige Motoren gemäß der Definition in asr-digest für angewandte Antriebstechnik, 1977, Seiten 27 bis 31. Diese Motoren können im Rahmen der Erfindung auch einsträngig ausgebildet sein, wobei dann zur Ansteuerung des einzigen Stranges eine Brückenschaltung erforderlich ist, vgl. die erwähnte Literaturstelle asr.

In gleicher Weise läßt sich die Erfindung auch bei kollektorlosen Motoren anderer Bauarten verwenden, z.B. bei dreisträngigen, dreipulsigen Motoren, um nur ein Beispiel zu nennen. Die dargestellte Anordnung mit einem zweipulsigen, zweisträngigen Motor ist aber besonders einfach und vorteilhaft, da sie ein Minimum an Bauelementen erfordert. Dies gilt besonders für Lüfter oder analoge Anwendungen, z.B. Scanner in Laserdruckern.

An den Alarm-Ausgang 9 des Mikroprozessors 20 ist ein npn-Transistor 44 angeschlossen, an dessen Kollektor z.B. eine Klingel oder eine Warnlampe angeschlossen werden kann, um ein hörbares oder ein visuelles Alarmsignal abzugeben, wenn die Drehzahl n (Fig. 3) zu niedrig wird. Häufig wird dieses Signal auch von einem Anwender intern weiterverarbeitet, z.B. in dem betreffenden Gerät.

Wie Fig. 2 zeigt, soll in einem Temperaturbereich zwischen T_a (z.B. 20°C) und T_b (z.B. 50°C) die Drehzahl mit steigender Temperatur anstei-

gen, d.h. ein bestimmter Temperaturwert T^* soll in diesem Bereich eine bestimmte Drehzahl n^* bewirken. Die Temperatur T^* wirkt also hier wie ein Drehzahl-Sollwert für die Drehzahl n^* , und es handelt sich folglich hier um eine Drehzahlregelung.

Hierfür muß eine Differenz gebildet werden zwischen dieser gewünschten Drehzahl n^* , die man auch als Soll-Drehzahl bezeichnet, und der tatsächlichen Drehzahl, die man auch als Ist-Drehzahl bezeichnet. Diese Differenz bezeichnet man auch als Regelabweichung.

Bei einem digitalen Drehzahlregler wird die Regelabweichung meist digital berechnet, was teuer ist und relativ viel Zeit erfordert. Bei der vorliegenden Erfindung wird die Regelabweichung in bevorzugter Weise analog berechnet, und dies erlaubt es, während ihrer Berechnung bereits Rechenschritte für den Regelvorgang ablaufen zu lassen und diesen dadurch erheblich zu beschleunigen. Außerdem gestattet es die Erfindung, einen Mikroprozessor mit geringer Datenbreite zu verwenden, da die digitalen Rechenvorgänge keine Zähler mit großer Rechenkapazität erfordern. Dies ist ein wichtiger Vorteil der vorliegenden Erfindung.

Die in Fig. 1 dargestellte Anordnung hat eine positive Leitung 45 und eine negative Leitung 46, zwischen denen z.B. eine Spannung von z.B. 24 V liegt, an die der Motor 25, wie dargestellt, direkt angeschlossen ist. Über einen Widerstand 48 und eine Zenerdiode 49 wird an einer Leitung 50 eine geregelte Spannung von z.B. $+5 \text{ V}$ erzeugt. An diese ist über einen Vorwiderstand 52 und einen Knotenpunkt 53 der NTC-Widerstand 26 angeschlossen, der mit seinem anderen Anschluß an der Leitung 46, also an Masse, liegt. Wie man ohne weiteres erkennt, wird das Potential des Knotenpunkts 53 höher, wenn die Temperatur abnimmt, denn dann nimmt der Widerstandswert des Widerstands 26 zu. Auch der Mikroprozessor 20 und ein nachfolgend beschriebener Komparator 57 sind an diese geregelte Spannung angeschlossen, doch ist dies nicht dargestellt, um die Zeichnung nicht zu überladen.

Bricht die Zuleitung zum NTC-Widerstand 26 an der Stelle 54 oder an der Stelle 55, so hat dies dieselbe Wirkung wie eine starke Abnahme der Temperatur, d.h. das Potential am Knotenpunkt 53 springt dann auf den Wert des Potentials der Leitung 50, also auf einen hohen Wert.

Der Knotenpunkt 53 ist an den Minuseingang eines Komparators 57 angeschlossen, dessen Ausgang 58 an den Port 6 des Mikroprozessors 20 angeschlossen ist, der in Fig. 5 mit DIF bezeichnet ist. Dies deshalb, weil am Ausgang 58 des Komparators 57 im Betrieb eine Spannung U_{dif} auftritt, die nachfolgend erläutert wird und mit deren Hilfe die Regelabweichung (gemäß obiger Definition) leicht erfaßt werden kann.

An die Leitung 50 ist zudem über einen Lade-
widerstand 62 und einen Knotenpunkt 63 ein Kon-
densator C angeschlossen. Der Knotenpunkt 63 ist
mit dem Pluseingang des Komparators 57 verbun-
den, ebenso mit dem Port 13 des Mikroprozessors
20. An diesen Port 13 ist intern im Mikroprozessor
20 ein npn-Transistor 65 angeschlossen, der mit-
tels der Befehle des Mikroprozessors 20 gesteuert
werden kann.

Arbeitsweise von Fig. 1

Wie bereits erläutert, entlädt der Transistor 65
den Kondensator C, wenn dieser Transistor durch
einen entsprechenden Befehl leitend gesteuert
wird. Bei einer solchen Entladung erhält der Port
13 des Mikroprozessors 20 - in Fig. 5 mit ENTLAD
bezeichnet - ein niedriges Potential, also ENTLAD
= L. Soll umgekehrt der Kondensator C geladen
werden, so wird der Port 13 auf ein hohes Potential
gelegt, also ENTLAD = H. Bei ENTLAD = L wird
der Kondensator C, der als Speicherglied dient, auf
einen Anfangswert gesetzt, nämlich einen fast voll-
ständig entladenen Zustand. Dies geschieht bei
einer vorgegebenen ersten Drehstellung des Rotors
27, und diese wird (beim Ausführungsbeispiel) ge-
messen, über das Ausgangssignal KOMM des Ro-
torstellungssensors 27. Es braucht an dieser Stelle
nicht erläutert zu werden, daß man Rotorstellungen
auf vielerlei Arten messen kann, z.B. auch ohne
Sensor direkt aus den Spannungen und/oder Strö-
men in den Strängen 31, 32. Das Signal KOMM
eines Hall-IC ermöglicht aber eine technisch ein-
fache Lösung, und seine Verwendung wird deshalb
bevorzugt, da es sich im Bereich der Kommutie-
rungsstellungen des Rotors abrupt ändert, und
zwar von einem hohen Wert (H) zu einem niedrigen
Wert (L), oder umgekehrt. Wie oft dies bei einer
Rotorumdrehung geschieht, hängt von der Zahl der
Rotorpole ab. Bei einem zweipoligen Rotor 27, wie
er in Fig. 1 sehr schematisiert dargestellt ist, ge-
schieht dies zweimal pro Rotorumdrehung, und
diese Stellen starker Änderung sind 180° vonein-
ander entfernt. Dies sind die Kommutierungsstellen
des Motors. Bei einem vierpoligen Rotor wären es
vier solche Stellen pro Umdrehung, bei einem
sechspoligen Rotor sechs Stellen, etc. Eine niedri-
ge Polzahl hat im Rahmen der Erfindung den
Vorteil, daß dem Mikroprozessor 20 mehr Rechen-
zeit zur Verfügung steht, bzw., daß ein langsamerer
Mikroprozessor verwendet werden kann.

Es ist darauf hinzuweisen, daß beim Ausführungs-
beispiel das Signal ENTLAD erst eine kurze
Zeitspanne nach einer Kommutierung auf H gesetzt
wird, vgl. Fig. 21. Auch dieser Zeitpunkt entspricht
einer bestimmten Rotorstellung.

Beim Ausführungsbeispiel ist die Anordnung so
gewählt, daß die Ladung des Kondensators C nur

dann gestartet werden kann, nachdem das Signal
KOMM von H auf L gegangen ist. Fig. 6 zeigt dies
für den Fall, daß die Drehzahl des Motors niedriger
ist als die gewünschte Drehzahl n^* (Fig. 2), welche
der augenblicklichen Temperatur T^* am Sensor 26
entspricht und folglich den Sollwert n^* für die Mo-
tordrehzahl darstellt.

Durch diese Änderung des Signals KOMM von
H auf L wird zum Zeitpunkt t_{10} der Fig. 6 das
Signal ENTLAD am Port 13 auf H gesetzt, und der
Kondensator C wird über den Widerstand 62 aufge-
laden, in diesem Fall nach einer e-Funktion. (Natur-
gemäß wäre auch eine lineare Ladung möglich).
Hierdurch steigt die Spannung U_C am Kondensator
C an, wie in Fig. 6c dargestellt, und zum Zeitpunkt
 t_{11} erreicht das Potential des Punktes 63 die Höhe
des Potentials am Punkt 53, welches letzteres der
augenblicklichen Temperatur T^* am Sensor 26 ent-
spricht und folglich den Sollwert n^* für die Motor-
drehzahl darstellt.

Sind die Potentiale der Punkte 53 und 63
gleich, so wird der Ausgang 58 des Komparators
57 von L auf H umgeschaltet, und man erhält also
dort die Spannung U_{diff} , die in Fig. 6b dargestellt
ist.

In bevorzugter Weise bewirkt das Signal U_{diff} =
H, daß direkt anschließend im Programmablauf
ENTLAD = L gesetzt wird, vgl. Fig. 21, d.h. daß
der Kondensator C anschließend sofort wieder ent-
laden wird, wodurch U_{diff} die Form eines Nadelim-
pulses erhält. Diese sofortige Entladung ergibt ei-
nen besonders ruhigen Motorlauf.

Man kann aber auch die Spannung U_{diff} bis zur
nächsten Kommutierungsstelle auf H halten. In die-
sem Fall wird dann, wenn U_{diff} = H ist und sich
KOMM von L auf H oder von H auf L ändert,
ENTLAD = L gesetzt und der Kondensator C wird
wieder über den Transistor 65 (im Mikroprozessor
20) entladen. Dies geschieht in diesem Fall zum
Zeitpunkt t_{12} der Fig. 6. Die nachfolgende Be-
schreibung bezieht sich auf die bevorzugte Vari-
ante mit sofortiger Entladung des Kondensators C
nach Auftreten des Signals U_{diff} . Dieses wird bei
dieser Variante - vgl. die folgenden Flußdiagramme
- in Form eines Signals $U_{diffalt}$ = H zwischenge-
speichert, damit die Information aus dem Signal
 U_{diff} nach Entladen des Kondensators C nicht verlo-
rengeht.

Die Messung der Regelabweichung erfolgt nun
wie folgt:

Von der Kommutierungsstelle t_{10} , bei der die Aufla-
dung des Kondensators C gestartet wurde, geht
man zur nächsten Kommutierungsstelle t_{12} , und
man mißt die zeitliche Differenz T_d von dieser
(nächsten) Kommutierungsstelle t_{12} (oder einer
Stelle in ihrer Nähe) bis zum Beginn von U_{diff} , also
bis zum Zeitpunkt t_{11} . Da hier, wenn die Drehzahl
zu niedrig ist, t_{11} zeitlich vor t_{12} liegt, wird diese

Zeit T_d als negativ gemessen. Ein negatives T_d bedeutet, daß die Drehzahl zu niedrig ist, wobei der Betrag (Absolutwert) von T_d aussagt, um wieviel die Drehzahl zu niedrig ist. Dementsprechend werden die Ströme i_1 (Fig. 6d) und i_2 (Fig. 6e) durch die Wicklungsstränge 31 bzw. 32 in diesem Fall größer gemacht, um die Drehzahl zu erhöhen.

Wie dies im Prinzip geschieht, zeigt Fig. 12. Fig. 12a zeigt das Signal KOMM, hier für etwa eine Rotorumdrehung von 360° bei einem zweipoligen Motor 27. Fig. 12b zeigt das eben beschriebene Signal U_{diff} für den Fall, daß die Drehzahl zu langsam ist, d.h. die Regelabweichung beträgt $-T_d$.

Wie in Fig. 12 bei 70 angegeben, wird während der ersten Grade der vollen Umdrehung ein Wert PI berechnet, wobei PI für Proportional-Integral-Regelung steht. Dies geschieht aus einem Zahlenwert P für die Proportionalregelung, und einem zahlenwert I für die Integralregelung, z.B. nach der Formel $PI = I + 2P$, wobei die Faktoren I und P aus vorhergehenden Umdrehungen des Motors vorhanden sind und in entsprechenden Speichern gespeichert sind. (Beim Einschalten des Motors werden entsprechende Werte für I und P bei der Initialisierung vorgegeben.)

Dieser Wert PI bestimmt dann, wie dargestellt, um wieviele Grade nach dem Ende der Berechnungsphase der Strom i_1 (durch den Strang 31) eingeschaltet wird, wie in Fig. 12 bei 72 angegeben. Je größer also PI wird, umso kleiner wird dieser Strom. Der Beginn des Stromflusses ist mit t_1 bezeichnet. Diese zeitliche Steuerung wird dadurch erreicht, daß das Ausgangssignal out1 am Ausgang 9 des Mikroprozessors 20 zu H gemacht wird, wenn der Strom i_1 eingeschaltet werden soll.

Dieser Strom fließt dann z.B. während eines Drehwinkels von 110° , und er wird abgeschaltet vor Erreichen der Kommutierungsstellung, welche hier dem Winkel 180° entspricht, und zwar um einen Winkel D vor dieser Kommutierungsstellung, wobei der Wert D einige Grad beträgt. Dies dient dazu, beim Abschalten des Statorstroms Stromspitzen zu vermeiden.

Mit Beginn des Signals U_{diff} beginnt die Zeitmessung für die Regelabweichung $-T_d$, und diese Messung dauert bis zur Kommutierungsstellung, also bis 180° .

Da der Motor zu langsam läuft, werden bereits während dieser Zeitspanne T_d die Werte für P und I herabgesetzt, und zwar umso mehr, je länger T_d ist. Dies ist in Fig. 12 bei 74 angegeben. (Wenn der Regler nur ein P-Regler wäre, würde selbstverständlich nur ein Wert für P verändert.) Wie dies geschieht, wird nachfolgend anhand von Fig. 17 im Detail beschrieben.

Bei der Drehstellung 180° , also am Ende der Messung von T_d , liegen also bereits modernisierte Werte für P und I vor, die kleiner sind als bisher,

und im Drehwinkelbereich von z.B. 180° bis 190° wird nun aus diesem modernisierten Werten ein neuer Wert PI^* berechnet, wie in Fig. 12 bei 76 angegeben. Diese Berechnung wird nachfolgend bei Fig. 19 im Detail beschrieben. Dieser Wert PI^* bestimmt dann, wie bei 78 angegeben, den Einschaltzeitpunkt t_2 für den Strom i_2 im Strang 32, und dieser Strom i_2 fließt also länger, z.B. während 120° , als der Strom i_1 . Auch der Strom i_2 endet um den Wert D vor der nächsten Kommutierungsstellung, die bei 360° liegt. Da der Strom i_2 während eines längeren Drehwinkels fließt, entsteht ein längeres antreibendes Drehmoment auf den Rotor 27, und der Motor wird schneller, d.h. die Drehzahl n nähert sich dem Wert n^* an.

Im Winkelbereich von z.B. 360° bis 370° (entsprechend 0° bis 10°) könnte erneut der Wert PI aus den gespeicherten Werten für P und I berechnet werden, die sich nicht geändert haben. Hier kann aber in vorteilhafter Weiterbildung der Erfindung auch eine Alarmüberwachung stattfinden, d.h. ein spezielles Rechenprogramm stellt fest, ob die Drehzahl n unterhalb eines unteren Grenzwertes liegt, und gibt einen Alarm, wenn dies der Fall ist. Dies ist in Fig. 12 bei 80 angegeben und wird nachfolgend bei Fig. 20 im Detail beschrieben.

Anschließend hieran wird der bei 76 berechnete Wert PI^* weiterverwendet und bestimmt den Zeitpunkt t_3 , an dem der Strom i_1 eingeschaltet wird. Dies ist in Fig. 12 bei 82 erläutert.

Die Vorgänge wiederholen sich dann, d.h. erneut wird ein Signal U_{diff} erzeugt, das in diesem Fall später auftritt, da die Drehzahl etwas gestiegen ist, so daß der Absolutwert von $-T_d$ kürzer wird; die Werte für P und I werden verändert, d.h. weiter verkleinert, ein neuer Wert PI^* wird errechnet, etc., wie bereits ausführlich beschrieben.

Auf diese Weise sind verschiedenen Abschnitten einer Rotorumdrehung verschiedene Rechenschritte zugeordnet, d.h. die Stellung des Rotors 27 bestimmt darüber, was der Mikroprozessor 20 im Augenblick rechnet oder mißt. Anders gesagt, steuert die Rotorstellung den augenblicklichen Programmlauf.

Fig. 7 zeigt, was geschieht, wenn der Motor 25 mit der gewünschten Drehzahl läuft, d.h. die Motordrehzahl n ist hier gleich der gewünschten Drehzahl n^* .

Auch hier wird die Ladung des Kondensators C gestartet, nachdem sich das Signal KOMM von H nach L ändert, z.B. in Fig. 7c zum Zeitpunkt t_{14} . Die Spannung U_C steigt dann an und erreicht die Spannung U_{53} am Knotenpunkt 53 ganz kurz nach dem Zeitpunkt t_{15} , an dem sich KOMM von L nach H ändert. Ab diesem Zeitpunkt t_{15} wird nun die Zeit T_d gemessen, und da die ansteigende Flanke von U_{diff} praktisch mit t_{15} zusammenfällt, ist $T_d = 0$, d.h. es liegt keine Regelabweichung vor.

In diesem Fall sind die Werte für P und I richtig und werden folglich nicht geändert, d.h. der Abstand PI, der z.B. in Fig. 12 bei 72 erläutert wird, bleibt auch bei den nachfolgenden Stromimpulsen unverändert.

Im Betrieb läuft der Motor weitgehend in diesem Zustand, d.h. die Werte für P und I ändern sich nur wenig, wenn der Motor 25 läuft und sich die Temperatur am Sensor 26 nicht ändert. Je nach Temperatur ergeben sich hier relativ kurze Motorstromimpulse i_1 und i_2 , wie in Fig. 7d und Fig. 7e dargestellt.

Fig. 8 zeigt, was geschieht, wenn die Drehzahl n höher wird als die gewünschte Drehzahl n^* . Dies kann z.B. der Fall sein, wenn plötzlich kalte Luft angesaugt wird (im Winter wird ein Fenster geöffnet) und dadurch der Widerstandswert des Sensors 26 rasch zunimmt.

Auch hier wird die Ladung des Kondensators C zu einem Zeitpunkt t_{17} gestartet, an dem das Signal KOMM von H auf L geht, und die Messung von T_d erfolgt etwa ab dem Zeitpunkt t_{18} , an dem KOMM direkt anschließend wieder von L nach H geht.

Das Signal U_{dH} tritt hier erst zu einem Zeitpunkt t_{19} auf, der zeitlich nach t_{18} liegt, d.h. T_d ist hier positiv. Das positive Vorzeichen bedeutet, daß der Motor zu schnell läuft, und der Absolutwert von T_d gibt an, um wieviel der Motor zu schnell läuft. Dementsprechend müssen hier die Motorströme i_1 und i_2 kürzer gemacht werden. Wie dies geschieht, zeigt Fig. 13.

Ebenso wie Fig. 12 zeigt Fig. 13 die Abläufe bei einer vollen Rotordrehung von 360° , wie in Fig. 13a angegeben. Die Winkelstellung beginnt links bei 180° . In der Mitte erreicht sie $360^\circ = 0^\circ$, und rechts erneut 180° , d.h. die Umdrehung ist dort abgeschlossen.

Bei Fig. 12 war die Drehzahl zu niedrig, und deshalb mußte T_d in dem Zeitraum von 0° bis 180° gemessen werden, in dem KOMM = L ist.

Bei Fig. 13 ist die Drehzahl zu hoch, und deshalb muß T_d in dem Zeitraum von 180° bis 360° gemessen werden, in dem KOMM = H ist.

Auch bei Fig. 13 wird zu Beginn, also im Winkelbereich direkt nach 180° , während einer Drehung von z.B. 10° der Wert PI aus den vorhandenen Werten für P und I errechnet, wie das bei Fig. 12 in der Beschreibung erläutert wurde. Dies ist in Fig. 13 bei 85 erläutert und erfolgt mit der Routine gemäß Fig. 19.

Dieser Wert PI bestimmt anschließend den Einsatzpunkt t_1 des Stromes i_2 , wie in Fig. 13 bei 87 angegeben.

Gleichzeitig mit dieser Berechnung von t_1 wird hier auch ein Wert T_d' gemessen, der etwas kürzer ist als T_d , denn die Messung beginnt erst mit Abschluß der Berechnungsphase 85, wie aus Fig.

13 klar hervorgeht. Dies kann ggf. in einem Programm kompensiert werden, da ja die Zeitdauer der Berechnungsphase 85 bekannt ist, doch funktioniert die Anordnung auch dann sehr zufriedenstellend, wenn der Wert T_d' gemessen wird.

Da der Motor zu schnell läuft, sind die Werte für P und I zu klein, und deshalb werden sie während der Zeitdauer von T_d' heraufgesetzt, umso mehr, je länger T_d' andauert. Man erhält also bereits am Ende von T_d' neue, erhöhte Werte für P und I, welche geeignet sind, die Drehzahl entsprechend etwas zu reduzieren. Dies ist in Fig. 13 bei 89 erläutert und geschieht mit der in Fig. 16 dargestellten Routine.

Es ist hier der Ort, darauf hinzuweisen, daß bei Fig. 12 die Messung eines negativen T_d (Schritt 74) von der Berechnung des Zeitpunkts t_1 (Schritt 72) zeitlich getrennt ist, während bei Fig. 13 die Schritte 87 und 89 zeitlich parallel ablaufen müssen. Man benötigt also hier verschiedene Regelalgorithmen. Da die Ladung des Kondensators C definitionsgemäß dann gestartet wird, wenn sich das Signal KOMM von H nach L ändert, also in Fig. 12 und 13 bei der Kommutierungsstellung $360^\circ = 0^\circ$, läuft der Algorithmus für "Drehzahl zu niedrig" bevorzugt in dem Drehwinkelbereich ab, in dem KOMM = L ist, und der Algorithmus für "Drehzahl zu hoch" läuft bevorzugt in dem Drehwinkelbereich ab, in dem KOMM = H ist, wie in den Fig. 12 und 13 dargestellt.

Würde die Ladung des Kondensators C dann gestartet, wenn KOMM von L auf H geht, also an der Kommutierungsstellung bei 180° , so müßte der Algorithmus für "Drehzahl zu niedrig" dann ablaufen, wenn KOMM = H ist, und der Algorithmus für "Drehzahl zu hoch" müßte dann ablaufen, wenn KOMM = L ist. Dies ergibt sich ja auch aus der Symmetrie eines Elektromotors. Diese - nicht dargestellte - Variante kann in manchen Fällen Vorteile haben.

In gleicher Weise kann die Messung von T_d auch an anderen Stellen der Rotordrehung erfolgen, d.h. wenn z.B. der Hallgenerator 28 sich an einer anderen Stelle des Rotors relativ zum Rotor 27 befindet, spielt das für die Messung der Zeit T_d und ihres Vorzeichens keine Rolle. Es kommt nur darauf an, daß an definierten Stellen der Rotordrehung geeignete Signale für die Steuerung der Ladung des Kondensators C (also für Beginn der Ladung, und für Entladung), bzw. für eine Messung T_d vorliegen. Die Ströme i_1 und i_2 dürfen naturgemäß nur in bestimmten Drehwinkelbereichen des Rotors fließen, nämlich in den Drehwinkelbereichen, in denen die bereits erwähnte Gegen-EMK hoch ist, und wenn der Hall-IC 28 so justiert ist, daß diese Ströme in den richtigen Drehwinkelbereich fließen, kann sein Ausgangssignal KOMM bei den Funktionen erfüllen,

nämlich a) die Kommutierung steuern, und
b) die Messung der Regelabweichung ermöglichen.

Zurück zu Fig. 13. Im Bereich direkt nach $360^\circ = 0^\circ$, also z.B. von 0° bis 10° , wird aus den zuvor modernisierten Werten von P und I ein neues PI^* errechnet, das also hier größer ist als das vorhergehende PI , und dies ist in Fig. 13 bei 92 erläutert. Hierzu dient die Routine der Fig. 19.

Anschließend wird bei 94 der Strom-Einsatzpunkt t_2 anhand des neuen Wertes PI^* errechnet. Während z.B. der Strom i_2 während eines Drehwinkels von 130° floß, fließt der Strom i_1 nur während eines Drehwinkels von 120° . (In der Praxis sind naturgemäß die Unterschiede wesentlich kleiner, aber die Verwendung größerer Unterschiede ermöglicht eine anschaulichere zeichnerische Darstellung.)

Sowohl der Strom i_2 wie der Strom i_1 wird aus den erläuterten Gründen um den Abstand D vor der Kommutierungsstellung (360° bzw. 180°) abgeschaltet, was im Programmschritt S131 (Fig. 15) berücksichtigt wird.

Im Anschluß an die Kommutierungsstellung 180° (rechts in Fig. 13) kann bei 96 berechnet werden, ob ein Alarm gegeben werden muß, oder der Wert PI kann erneut berechnet werden. Dieser bleibt unverändert, da kein neuer Meßwert T_d vorliegt, wie in Fig. 13 bei 98 erläutert.

Wesentlich ist also, daß die Messung von T_d parallel mit der Modernisierung der Werte für P und I abläuft, und ggf. auch parallel mit der Berechnung des Strom-Einsatzpunktes, und daß ggf. eine Messung anschließend für mehrere Stromimpulse verwendet wird, bis eine neue Messung erfolgt. Im Verlauf von ein oder zwei Rotorumdrehungen finden ja keine großen Drehzahländerungen statt.

Fig. 9 zeigt, was bei sehr niedrigen Temperaturen geschieht. In diesem Fall wird das Potential U_{53} sehr hoch, und die Spannung U_C erreicht dieses Potential erst nach einigen Motorumdrehungen, d.h. T_d hat einen positiven Wert und ist sehr groß. Dies würde einer sehr niedrigen Motordrehzahl n entsprechen, die nicht zulässig ist. In diesem Fall schaltet der Regler auf eine Proportionalregelung um und hält eine untere Drehzahl von z.B. 1400 U/min ein. Die Stromimpulse i_1 und i_2 werden in diesem Fall äußerst kurz.

Fig. 10 zeigt, was geschieht, wenn der Temperatursensor 26 defekt ist, z.B. wegen einer Unterbrechung an den Stellen 54 und 55. In diesem Fall wird das Potential U_{53} so hoch, daß die Spannung U_C dieses Potential U_{53} niemals erreicht. In diesem Fall schaltet die Anordnung auf maximale Drehzahl um, wie in Fig. 10d und 10e symbolisch dargestellt, d.h. die Statorstromimpulse i_1 , i_2 erhalten ihre maximal mögliche Länge.

Fig. 11 zeigt nochmals synoptisch die verschiedenen möglichen Fälle:

Bei Fig. 11b ist der Motor um vieles zu langsam, und deshalb ist T_d negativ und hat einen großen Absolutwert.

Bei Fig. 11c ist der Motor etwas zu langsam. T_d ist negativ, aber sein Absolutwert ist kleiner, verglichen mit Fig. 11b.

Bei Fig. 11d läuft der Motor mit der richtigen Drehzahl $n = n^*$. Die Spannung U_{diff} liegt nun im Bereich des Signals KOMM = H. T_d hat den Wert 0.

Fig. 11e zeigt die Situation, wenn der Motor etwas zu schnell läuft. T_d ist hier positiv und hat einen relativ kleinen Wert.

Bei Fig. 11f ist der Motor viel zu schnell, und T_d ist positiv und hat einen großen Absolutwert.

Bei Fig. 11e ist der Sensor defekt. T_d hat einen sehr hohen Wert oder den Wert unendlich, d.h. U_{diff} behält ständig den Wert 0. Die Auswertung dieses Zustands durch den Mikroprozessor 20 bewirkt eine Umschaltung des Motors 25 auf maximale Drehzahl.

In der Praxis kann die Schaltung mit dem Komparator 57 (Fig. 1) mittels eines npn-Transistors 100 und eines pnp-Transistors 102 realisiert werden, wie in Fig. 4 dargestellt. Gleiche Teile wie in Fig. 1 sind in Fig. 4 mit denselben Bezugszeichen bezeichnet und werden deshalb nicht nochmals beschrieben.

Die Basis des Transistors 100 ist mit dem Knotenpunkt 63 verbunden, sein Emitter mit dem Knotenpunkt 53, und sein Kollektor mit der Basis des Transistors 102. Der Emitter des Transistors 102 ist über einen Widerstand 103 an eine positive Spannung angeschlossen, und sein Kollektor ist über einen Widerstand 104 mit Masse 46 verbunden. Am Widerstand 104 kann dann im Betrieb die Spannung U_{diff} abgenommen werden.

Fig. 14 zeigt eine Schaltung mit weiteren Einzelheiten. Für den Komparator verwendet sie die Schaltung gemäß Fig. 4, ansonsten die Schaltung gemäß Fig. 1, weshalb für gleiche Teile dieselben Bezugszeichen verwendet werden wie in den Fig. 1 und 4, und diese Teile werden gewöhnlich nicht nochmals beschrieben.

In der Zuleitung von der positiven Leitung 45 (z.B. 24 oder 48 V Betriebsspannung) zu den elektronischen Bauteilen liegt hier eine Diode 108, welche bei falschem Anschluß, auch "Falschpolung" genannt, sperrt, und eine Zerstörung der Elektronik verhindert. Für die Stromversorgung des Hall-IC 27 sind eine Zenerdiode 109 und ein Vorschaltwiderstand 110 vorgesehen.

An die Anschlüsse 1 und 2 des Mikroprozessors 20 ist ein Taktgeber 112 von z.B. 6 MHz angeschlossen. Zwischen dem Port 7 und der Leitung 50 liegt ein Widerstand 114. Dies ist der

sogenannte Pullupwiderstand des Hall-IC 27.

Der Resetanschluß (Port 3) des Mikroprozessors 20 ist mit einem Knotenpunkt 114 verbunden. Letzterer ist über einen Widerstand 115 mit der positiven Leitung 50 und über einen Kondensator 116 mit der negativen Leitung 46 verbunden.

Beim Einschalten des Motors ist der Kondensator 116 entladen, und folglich hat der Knotenpunkt 114 zunächst das Potential 0 V, also ein niedriges Signal L. Dieses Signal L bewirkt die Einschaltinitialisierung des Mikroprozessors 20, wie sie nachfolgend beim Schritt S130 beschrieben wird. Anschließend lädt sich der Kondensator 116 auf, und das Signal am Port 3 wird zu H, wodurch die Initialisierung abgeschlossen ist.

Die Potentiale an den Ports 14 und 15 bestimmen die minimale Drehzahl des Motors, also in Fig. 2 den Wert n_{min} . Dies wird erreicht durch die Widerstände 118, 119 und die dargestellten Verbindungen zur positiven Leitung 50 bzw. zur negativen Leitung 46.

Port 4 ist mit der negativen Leitung 46 verbunden. Das Potential am Port 12 (H oder L) bestimmt die Dauer der Alarmverzögerung AVZ (0 oder 10 Sekunden). Beim Ausführungsbeispiel sind die Ports 5 und 12 an die Leitung 50 (+) angeschlossen. Der E/A-Port ermöglicht eine digitale Steuerung des Motors 25: wird er auf L gelegt, so steht der Motor. Wird er auf H gelegt - wie in Fig. 14 - so läuft der Motor. Dies ermöglicht die Einschaltung des Motors mittels einer Niederspannungssignals.

In Reihe mit dem Motor 25 liegt auf der Plusseite ein PTC-Widerstand 121 als Sicherung (fuse) bei einem Blockieren des Motors, und auf der negativen Seite ein niederohmiger Widerstand 122, der für die Schaltvorgänge günstig ist. - Parallel zum Kondensator 37 liegt eine Zenerdiode 123, parallel zum Kondensator 38 eine Zenerdiode 124, um den Mikroprozessor 20 vor Überspannungen von den Motorwicklungen 31, 32 zu schützen.

Die Arbeitsweise wurde bereits anhand der Fig. 1 und 4 beschrieben, und die Initialisierung beim Einschalten mittels des Widerstands 115 und des Kondensators 116 wurde ebenfalls bereits erläutert. Zum Mikroprozessor 20 vergleiche auch die Fig. 5, welche die verwendete symbolische Bezeichnung der einzelnen Ports angibt.

Nachfolgend werden nun die Flußdiagramme für die dargestellten Vorgänge im einzelnen erläutert, wie sie in den Fig. 15 bis 20 dargestellt sind und wie sie im Augenblick den optimalen Wissensstand darstellen. (Programme unterliegen häufigen Änderungen und Optimierungen, wie dem Fachmann bekannt ist.)

Fig. 15 zeigt bei Schritt S130 die Vorgänge beim Einschalten des Motors, also den Power-ON Reset, der beim Einschalten durch den Widerstand

115 und den Kondensator 116 ausgelöst wird, wie bei Fig. 14 beschrieben. Hierbei werden die verschiedenen Ports des Mikroprozessors 20 abgefragt, also in Fig. 5 der Port ATS (ob H oder L), der die Alarmsdrehzahl angibt, z.B. 1200 U/min, ferner der Port SEN, welcher angibt, ob ein Alarmsignal wieder gelöscht werden darf, wenn die Drehzahl wieder normal wird, oder ob das Alarmsignal gespeichert werden muß. Ferner werden die Ports NG0 und NG1 abgefragt, welche zusammen die minimale Drehzahl n_{min} festlegen, z.B. 1400 U/min, und der bereits erläuterte Wert E/A wird abgefragt, der angibt, ob der Motor laufen oder stehen soll. Die Werte NG0 und NG1 werden anschließend decodiert und ergeben einen Wert KZMIN für die minimale Drehzahl, z.B. 120 Einheiten. (Je größer dieser Wert, desto kleiner die Drehzahl).

Ferner werden folgende Register gesetzt:

SENSAB auf L.

PI auf einen niedrigen Wert, z.B. 0.

KZalt auf einen hohen Wert, z.B. 255.

I auf einen niedrigen Wert, z.B. auf 0.

PZ auf den Maximalwert, hier z.B. 15.

Udfalt auf H.

SENSAB = L bedeutet, daß kein Sensorabriß (interrupted sensor connection) vorliegt, also daß in Fig. 1 keine Unterbrechung in den Leitungen zum Sensor 26 an der Stelle 54 oder 55 vorliegt. SENSAB = H bedeutet maximale Drehzahl und setzt die Regelung außer Kraft, d.h. hierbei wird PI = 0 gesetzt, vgl. Fig. 19, Schritt S165.

PI ist die Stellgröße des Reglers. Wie Fig. 21d zeigt, bestimmt sie, wann der Motorstrom eingeschaltet wird: Erst wenn der Kommutierungszähler KZ den Zählerstand PI, also die Stellgröße, erreicht hat, wird der Strom i_1 (oder i_2) eingeschaltet. Ist PI groß, so wird folglich der Strom spät eingeschaltet, also wenig Power. Ist PI klein, so wird der Strom früh eingeschaltet, also viel Power.

KZalt ist ein Zählwert für den Kommutierungszähler KZ. (Der Kommutierungszähler KZ ist ein Teil des Mikroprozessors 20 - Fig. 5 - und daher nicht gesondert dargestellt.) Wie sich aus Fig. 21d ergibt, beginnt der Kommutierungszähler KZ kurz nach einer Kommutierung zu zählen, wenn die Berechnungsphase 128 (Erläuterung in Fig. 12 bei 70 oder 80) abgeschlossen ist. Hat der Kommutierungszähler bis PI gezählt, so schaltet er den betreffenden Strang ein, und es fließt ein Motorstrom. Hat der Kommutierungszähler den Wert KZ'alt erreicht, der um den Wert D (z.B. 4 Einheiten) kleiner ist als KZalt, so schaltet er diesen Strom wieder aus.

Der Kommutierungszähler KZ zählt anschließend weiter bis zur nächsten Kommutierung und mißt dabei den Wert KZ, also die Zeitdauer von KZ = 0 (Ende der Berechnungsphase 128) bis zur

nächsten Kommutierung (t_{30} in Fig. 21a). Dieser Wert dient - wenn er zu hoch wird - als Anzeige für eine Blockierung des Rotors, wie nachfolgend erläutert wird. Dieser Wert KZ wird dann als wahrscheinlichster Wert für die Dauer der nächsten Kommutierungsphase im Register KZalt als Wert KZalt gespeichert. Es kann auch vorteilhaft sein, für den Wert KZalt den gleitenden Durchschnitt (moving average) einer Mehrzahl von kurz zuvor gemessenen Werten für KZ zu verwenden, da dann der Motorlauf noch ruhiger wird. Diese Variante ist nicht im Flußdiagramm dargestellt; für den Fachmann stellt ihre Realisierung kein Problem dar.

Beim Schritt S130 wird KZalt vorgegeben, da noch kein Wert aus einer Messung vorliegt.

I ist der Integralfaktor des Drehzahlreglers, der beim Start vorgegeben werden muß.

PZ ist der Zählerstand eines Prü fzählers, vgl. Fig. 18.

PZ = 15 stellt sicher, daß nach der ersten Messung sofort ein neuer Wert für PI berechnet wird, und daß eine Alarmberechnung erst später erfolgt. Eine Anlaufverzögerung AVZ bewirkt, daß z.B. während 10 Sekunden nach dem Anlauf kein Signal ALARM ausgelöst werden kann, vgl. Fig. 20.

$U_{diffalt}$ ist ein Registerwert, der auf H gesetzt wird, wenn während KOMM = L der Wert U_{diff} = H auftritt. Dies sperrt bei KOMM = H die Veränderung der Werte für I und P; nicht aber bei KOMM = L. Dieser Wert wird deshalb beim Start auf H gesetzt, weil beim Start die Drehzahl zu niedrig ist, so daß P und I bei KOMM = L verändert werden müssen, nämlich verkleinert.

Anschließend geht der Mikroprozessor 20 zum Schritt S131, der bei jedem Kommutierungswechsel durchlaufen wird. Hier wird vom bereits erläuterten Wert KZalt (Fig. 21d), der sich bei jeder Kommutierung ergibt (als Abstand zwischen KZ = 0 und t_{30} , oder als bereits erläuteter gleitender Durchschnitt, der bei jeder Kommutierung neu berechnet wird), der Wert D abgezogen, z.B. 4 Einheiten, so daß sich der Wert KZ'alt ergibt. Dieser wird als Grenzwert in den Kommutierungszähler KZ gesetzt, damit bei Erreichen dieses Wertes der Strom abgeschaltet wird. Außerdem wird der Kommutierungszähler KZ im Schritt S131 auf Null rückgestellt, damit er wieder von vorne an zählt, also ab KZ = 0, wie in Fig. 21d dargestellt, und der Proportionalfaktor P des Reglers wird auf P = 0 gesetzt.

Beim Schritt S132 wird geprüft, ob das Freigabesignal E/A hoch ist. Nur in diesem Fall kann der Motor anlaufen. Sonst geht das Programm zum Schritt S131 zurück. Dies ermöglicht es, den Motor von einem Computer aus zu steuern.

Beim Schritt S201 wird dann geprüft, ob das Signal KOMM hoch oder niedrig ist. Ist KOMM = H, so prüft das Programm im Schritt S202, ob das

Signal $U_{diffalt}$ = H ist. Falls Ja, wird ein Vorzeichen-signal REG im Schritt S203 auf -1 gesetzt, und das Programm geht dann weiter zur Routine der Fig. 16. REG = -1 bedeutet, daß die Drehzahl zu niedrig ist, und daß folglich in der Routine der Fig. 16 eine Veränderung der Parameter I und P gesperrt ist.

Ist $U_{diffalt}$ = L, so wird im Schritt S204 REG = +1 gesetzt, und das Programm geht ebenfalls weiter zur Routine nach Fig. 16. REG = +1 bedeutet, daß die Drehzahl zu hoch ist, und daß folglich in der Routine nach Fig. 16 die Parameter für I und P vergrößert werden dürfen, entsprechend dem gemessenen Wert für T_d .

Ist im Schritt S201 das Signal KOMM = L, so geht das Programm zum Schritt S205. Dort wird geprüft, ob $U_{diffalt}$ = H ist. Falls Ja, wird im Schritt S206 REG = +1 gesetzt (Drehzahl zu hoch), und das Programm geht weiter zur Routine der Fig. 17. In diesem Fall ist dort die Veränderung der Parameter für I und P gesperrt.

Ist im Schritt S205 die Antwort Nein, so geht das Programm zum Schritt S207, wo REG = -1 gesetzt wird, d.h. die Drehzahl ist zu niedrig, und das Programm geht weiter zur Routine der Fig. 17, wo dann die Parameter für I und P verkleinert werden dürfen, entsprechend dem gemessenen Wert für T_d .

Als Vorbemerkung zu den Fig. 16 und 17 ist zu sagen, daß die dort dargestellten Schleifen zusätzlich eine Zeitmessung bewirken, nämlich durch Veränderung des Kommutierungszählers KZ (in den Schritten S143 bzw. S154). Dies setzt voraus, daß jeder Schleifendurchlauf, egal auf welchem Weg, gleich lang dauert, und dies wird dadurch erreicht, daß bestimmte, an sich kürzere Schleifendurchläufe mit NOP-Befehlen aufgefüllt sind, welche also nur Zeit verbrauchen, aber nichts bewirken. Diese NOP-Befehle werden in einem Flußdiagramm nicht dargestellt, doch wird hierauf hingewiesen, da eine optimale Funktion voraussetzt, daß jeder Schleifendurchlauf möglichst gleich lang ist. Die Dauer eines Schleifendurchlaufs der Fig. 16 entspricht also der Dauer eines Schleifendurchlaufs der Fig. 17, so daß die Werte für KZ direkt vergleichbar sind. Die Fig. 22 und 23 zeigen diese NOP-Befehle.

Fig. 16 zeigt die Routine für KOMM = H. Diese Routine implementiert Fig. 13, sofern der Motor zu schnell ist, d.h. die Faktoren P und I werden hier nur verändert, nämlich vergrößert, wenn der Motor zu schnell ist.

Beim Schritt S133 wird geprüft, ob der Kommutierungszähler KZ (im Mikroprozessor 20) den Wert PI erreicht hat, vgl. Fig. 21d. Ist dies der Fall, so wird der Strom i_2 eingeschaltet. Im Schritt S134 wird geprüft, ob der Kommutierungszähler den Wert KZ'alt erreicht hat, und dann wird der Strom

i_2 wieder abgeschaltet.

out2 = L bedeutet, daß der Strom i_2 ausgeschaltet ist.

out2 = H bedeutet, daß der Strom i_2 eingeschaltet ist.

Analoges gilt für out1.

Der Schritt S135 bedeutet also, daß beide Ströme i_1 und i_2 ausgeschaltet sind, und S136 bedeutet, daß i_2 eingeschaltet ist, also der Strang 32 bestromt wird.

Bei S137 wird geprüft, ob $U_{diff} = L$ ist, vgl. Fig. 11d, 11e und 11f: solange $U_{diff} = L$ ist, wird (bei KOMM = H) T_d gemessen, und die Werte für P und I sollten folglich im Schritt S139 verändert werden. Diese Veränderung erfolgt aber nur, wenn auch $U_{diffalt} = L$ ist, d.h. wenn bei KOMM = L nicht vorher festgestellt wurde, daß die Drehzahl zu niedrig ist, und dies wird im Schritt S138 geprüft. (Bei zu niedriger Drehzahl dürfen die Werte für P und I nur durch die Routine gemäß Fig. 17 verändert werden.)

Ferner wird in einem Schritt S210 als dritte Bedingung geprüft, ob REG = +1 ist, und nur wenn auch dies der Fall ist, geht das Programm weiter zum Schritt S139, also zur "Meßphase", in der die Werte I und P während der Dauer von T_d verändert werden.

Ist das Ergebnis in Schritten S137, S138 und S210 "Ja", so wird im Schritt S139 der Faktor I um den Wert X erhöht, z.B. um den Wert 3, und der Faktor P wird um Y erhöht, z.B. um den Wert 1. I kann maximal auf 255 erhöht werden, P maximal auf 15, wobei diese Zahlen - wie immer - nur Beispiele sind, damit die Materie nicht zu trocken wird. $U_{diffalt}$ bleibt in S139 weiterhin auf L. Das Register ENTLAD wird auf L gesetzt.

Wenn in S137 U_{diff} auf H ist, also die Messung von T_d abgeschlossen ist, vgl. Fig. 11, wird im Schritt S140 $U_{diffalt}$ auf H und SENSAB auf L gesetzt, und das Programm geht direkt zum Schritt S143, wo der Kommutierungszähler KZ um den Wert 1 erhöht wird. Analoges gilt, wenn bei S138 $U_{diffalt} = H$ ist und wenn bei S210 REG = -1 ist.

Auf S139 folgt der Schritt S141, wo geprüft wird, ob I = 255 ist, also seinen Maximalwert hat. Dies bedeutet den Fall der Fig. 11g, also Sensorabriß. Deshalb wird, falls dies zutrifft, in S142 das Register SENSAB auf H gesetzt, was nachfolgend die Umschaltung des Motors auf maximale Drehzahl bewirkt. Ist $I < 255$, so geht das Programm direkt zu S143.

Nach S142 wird bei S143 der Kommutierungszähler KZ ebenfalls um den Wert 1 erhöht.

Danach wird in einem Schritt S212 überprüft, ob der erreichte Wert des Kommutierungszählers KZ (im Mikroprozessor 20) kleiner ist als ein Schwellwert S3, der z.B. den Wert 260 haben kann. Trifft dies zu, so geht das Programm zum Schritt

S144. Überschreitet aber KZ den Schwellwert S3, d.h. der Motor dreht äußerst langsam oder steht (Rotor 27 ist blockiert), so geht das Programm zum Schritt S214, wo die Ströme in beiden Strängen 31 und 32 abgeschaltet werden. Es folgt bei S216 eine Wartezeit von z.B. 3 Sekunden, d.h. der Motor bleibt 3 Sekunden stromlos, und das Programm geht dann weiter zum Schritt S162 in Fig. 20, wo ggf. ein Alarm ausgelöst wird. Danach wird der Strom im Motor erneut eingeschaltet, d.h. es folgt automatisch ein neuer Anlaufversuch nach ca. 3 Sekunden Wartezeit, so daß der Motor nicht überhitzt werden kann, aber sofort wieder anläuft, wenn die Blockierung weggefallen ist.

Ist beim Schritt S212 die Antwort Ja, so wird anschließend im Schritt S144 geprüft, ob sich das Signal KOMM geändert hat. Ist es immer noch gleich, so geht das Programm in einer Schleife zurück zum Schritt S133. Hat sich das Signal KOMM geändert, so geht das Programm weiter zur Routine der Fig. 18.

Fig. 17 stellt die Fortsetzung von Fig. 15 für den Fall dar, daß KOMM = L ist. Diese Routine implementiert Fig. 12. Bei ihr werden die Meßvorgänge, d.h. die Veränderungen von I und P, nur dann vorgenommen, wenn der Motor zu langsam ist. Fig. 21 zeigt beispielhaft die Abläufe bei dieser Routine.

Beim Schritt S147 wird der Ausgang 13 des Mikroprozessors 20 auf H gesetzt, also ENTLAD = H. Fig. 21c zeigt, daß bei ENTLAD = H die Ladung des Kondensators C beginnt und folglich die Spannung U_C (Fig. 21b) ansteigt.

Wie Fig. 21c zeigt, wird das Signal ENTLAD erst im zeitlichen Abstand von der Änderung des Signals KOMM (von H auf L) auf H gesetzt. Der zeitliche Abstand entspricht der Dauer der Berechnungsphase 128 (Fig. 21d), die nachfolgend anhand der Fig. 19 und 20 erläutert wird. Diese Änderung des Signals ENTLAD von L nach H kann nur erfolgen, wenn sich zuvor KOMM von H auf L geändert hat, d.h. diese Änderung ist nur Bestandteil der Routine gemäß Fig. 17.

Schritt S148 entspricht S133.

Schritt S149 entspricht S134.

Schritt S150 entspricht S135.

Schritt S151 entspricht S136, mit dem Unterschied, daß bei S151 der Strom i_1 eingeschaltet wird. Auf die entsprechende Beschreibung dieser Schritte bei Fig. 16 wird verwiesen.

Bei S152 erfolgt die Prüfung, ob U_{diff} hoch ist. Dies entspricht den Fig. 11b, 11c und 11d, d.h. T_d wird erst ab dem Augenblick gemessen, ab dem U_{diff} hoch wird. Ist dies der Fall, so wird als nächstes im Schritt S222 geprüft, ob REG = -1 ist, vgl. Schritt S207, d.h. ob die Drehzahl zu niedrig ist. Falls ja, so wird bei S153 der Integralfaktor I um den Wert X (z.B. 3) reduziert, der Proportionalfaktor

P wird um den Wert Y (z.B. 1) erhöht, und $U_{diffalt}$ wird auf H gesetzt, damit nachfolgend bei KOMM = H der Schritt S139 nicht ausgeführt wird, und ENTLAD wird auf L gesetzt, d.h. der Kondensator C wird sofort wieder entladen, wenn U_C den Wert U_{S8} erreicht hat, wie in Fig. 21b und 21c dargestellt. Dies hat den Vorteil, daß für die Entladung über den Transistor 65 (Fig. 1) genügend Zeit zur Verfügung steht, wobei das Signal $U_{diffalt}$ anschließend ein Substitut für das Signal U_{diff} ist.

Wenn $U_{diff} = L$ ist, geht das Programm zum Schritt S224, und dort wird geprüft, ob $U_{diffalt} = H$ ist. Falls ja, geht das Programm zum Schritt S222, falls nein, zum Schritt S154, wo der Kommutierungszähler KZ um den Wert 1 erhöht wird. Anschließend wird im Schritt S226 geprüft, ob KZ kleiner als ein Schwellwert S3 (z.B. 260) ist, und falls ja, geht das Programm zum Schritt S155. Falls nein, geht es zu den Schritten S228 und S230, und dann zu S162. Schritt S228 entspricht S214 der Fig. 16, Schritt S230 entspricht S216 in Fig. 16. Auf die dortige Beschreibung wird deshalb verwiesen.

Bei S155 wird geprüft, ob sich das Signal KOMM geändert hat. Ist es unverändert, so geht das Programm zurück zum Schritt S147. Hat sich KOMM geändert, so geht das Programm weiter zur Routine der Fig. 18.

Fig. 18 zeigt, was anschließend an Fig. 16 oder Fig. 17 geschieht. Bei S160 wird der Prü fzähler PZ (vgl. S130) um den Wert 1 erhöht. Dieser Zähler zählt immer bis 15 und geht dann zurück auf den Wert Null.

Bei S161 wird deshalb geprüft, ob $PZ = 15$ ist. Falls Ja, folgt die Routine 162 für ALARM (Fig. 20), falls Nein, die Routine 163 (Fig. 19) für die Berechnung des Wertes PI. Beide Routinen finden in der Berechnungsphase 128 (Fig. 21d) statt, also jeweils direkt nach einer Kommutierung, was eine - erwünschte - kleine Einschaltverzögerung der Ströme i_1 bzw. i_2 bewirkt. Diese Routinen werden also, bezogen auf Fig. 12 und 13, immer in den Drehstellungsbereichen von 0° bis ca. 10° und von 180° bis ca. 190° aktiv, wo der Motor 25 ohnedies stromlos sein sollte. Beide Routinen sind mit Vorteil zeitlich gleich lang, was durch die erläuterten NOP-Befehle erreicht werden kann.

In Fig. 19 wird bei S164 geprüft, ob das Register SENSAB = H ist, vgl. S142 in Fig. 16. In diesem Fall wird bei S165 der Wert PI auf Null gesetzt, was nachfolgend bei Fig. 16 oder 17 bewirkt, daß der Strom schon bei $KZ = 0$ eingeschaltet wird, also der Motor mit maximaler Leistung und folglich maximaler Drehzahl läuft. Ein Sensorabriß (Fig. 1: Unterbrechung an Stelle 54 oder 55) hat also die Folge, daß sich der Motor wie ein normaler, ungeregelter Motor verhält.

Falls U_{diff} irgendwann wieder zu H wird, wird SENSAB wieder auf L gesetzt (S140 in Fig. 16),

und die Drehzahl wird dann wieder geregelt.

Falls kein Sensorabriß vorliegt, wird bei S166 der zuvor ermittelte Faktor P mit dem Vorzeichen-signal REG multipliziert, und anschließend wird gemäß der Formel

$$PI = I + 2P$$

der Wert PI ermittelt, Funktion siehe Fig. 21d.

Bei S167 wird geprüft, ob der Faktor I größer als ein Schwellwert S1 ist, z.B. größer als 240. Falls Ja, wird bei S168 der Faktor I auf den Wert R 1 zurückgesetzt, z.B. auf 208. Dies verhindert, daß bei niedrigen Drehzahlen Alarm gegeben wird, d.h. der Zähler für 1 kann in diesem Fall nicht den Wert 255 erreichen, da durch das Rücksetzen sein Zählerstand künstlich niedrig gehalten wird. (Bei Erreichen von $I = 255$ wird, wie erläutert, PI auf 0 gesetzt und der Motor läuft mit maximaler Drehzahl).

Ist der Faktor I kleiner als der Schwellwert S1, so wird er unverändert gelassen, Schritt S169.

Bei S170 wird in analoger Weise geprüft, ob der Wert PI negativ ist, und falls Ja, wird er bei S171 auf Null zurückgesetzt. Andernfalls bleibt er unverändert (S172).

Bei S173 erfolgt die Prüfung, ob die untere Grenzdrehzahl (Fig. 2: n_{min}) unterschritten ist, und ob der Faktor I größer als KZMIN (vgl. S130 in Fig. 15) ist.

Falls nicht, geht das Programm direkt zum Schritt S131 zurück.

Falls eine Überschreitung vorliegt, geht der Regler im Schritt S174 auf eine P-Regelung über, d.h. der Wert PI wird auf zweimal KZMIN minus KZ gesetzt. Auf diese Weise wird verhindert, daß die Drehzahl n unter den unteren Grenzwert n_{min} (Fig. 2) sinkt.

Der mit der Routine 163 errechnete Wert PI wird anschließend in Fig. 16 und/oder Fig. 17 verwendet, ggf. während mehrerer aufeinanderfolgender Zyklen, wie bereits bei Fig. 12 und 13 erläutert, d.h. auch nach dem Schritt S174 geht das Programm zurück zum Schritt S131 (Fig. 15).

Fig. 20 zeigt die Alarm-Routine 162. In einem Schritt S240 wird der Wert für die Alarmverzögerung AVZ um den Wert 1 reduziert, und anschließend wird bei S242 geprüft, ob $AVZ = 0$ ist. Falls ja, geht das Programm zu Schritt S175. Dort wird geprüft, ob der Wert KZ größer ist als die Summe von KZMIN und einem Schwellwert S2, der z.B. den Wert 47 haben kann. Diese Summe kann z.B. einer Drehzahl von 1200 U/min entsprechen. Wird diese Summe überschritten, so wird der Ausgang 14 ("ALARM") des Mikroprozessors 20 auf H gesetzt (Schritt S176), und ein Alarm wird ausgelöst. Ist die Summe nicht überschritten, so geht das Programm zum Schritt S244, wo geprüft wird, ob

der Ausgang 4 (SEN) des Mikroprozessors 20 hoch ist. Falls ja, wird ein gesetzter Alarm nicht gelöscht, sondern weiter gespeichert. Falls nein, wird das Signal ALARM rückgesetzt, also gelöscht (Schritt S177).

Falls in S242 AVZ größer als 0 ist (AVZ hat einen Minimalwert von 0), so geht das Programm von dort direkt zum Schritt S131 (Fig. 15) zurück, und dies gilt ebenso bei SEN = H, ebenso nach den Schritten S176 oder S177.

Wie in einer Vorbemerkung zu den Fig. 16 und 17 bereits ausführlich dargelegt, dienen die Programmschleifen gemäß Fig. 16 und 17 auch zur Zeitmessung, d.h. diese Schleifen sind so ausgelegt, daß jeder Durchlauf durch eine Schleife, egal auf welchem Weg, die gleiche Zeit erfordert, so daß mittels dieser Schleifen eine Zeitmessung möglich ist. Dabei sind die Durchlaufzeiten für die Schleifen nach Fig. 16 und Fig. 17 nach Möglichkeit identisch.

Erreicht wird dies durch die Einfügung von NOP-Befehlen dort, wo sonst ein Schleifendurchlauf zu kurz würde. (NOP = No operation; ein NOP-Befehl bewirkt nichts, außer einer zeitlichen Verzögerung des Programmablaufs. Naturgemäß kann man statt eines NOP-Befehls jede andere Art von Befehl verwenden, die auf den Lauf des Motors ohne Einfluß ist.) Die Verwendung von NOP-Befehlen ist dargestellt in den Fig. 22 und 23. Fig. 22 ist - bis auf die NOP-Befehle - identisch mit Fig. 16, und Fig. 23 ist - bis auf die NOP-Befehle - identisch mit Fig. 17. Die Teile aus den Fig. 16 und 17 werden deshalb nicht nochmals beschrieben.

In Fig. 22 ist zwischen dem JA-Ausgang des Schritts S133 und dem Knotenpunkt 249 ein NOP-Befehl S250 eingefügt, der die gleiche Zeitdauer hat wie der Schritt S134, so daß sich für die Ausgangssignale JA und NEIN des Schritts S133 dieselbe Zeitdauer des Durchlaufs bis zum Knotenpunkt 252 ergibt.

Zwischen dem NEIN-Ausgang des Schritts S138 und dem NEIN-Ausgang des Schritts S210 liegt ein NOP-Befehl S254, dessen Zeitdauer der Zeitdauer von S210 entspricht.

Zwischen dem NEIN-Ausgang des Schritts S210 und dem NEIN-Ausgang des Schritts S139 liegen mehrere NOP-Befehle S256, deren Zeitdauer der des Schritts S139 entspricht. (Durch das Durchlaufen mehrerer NOP-Befehle 256 ergibt sich eine entsprechend längere zeitliche Verzögerung.)

Zwischen dem NEIN-Ausgang des Schritts S141 und dem Eingang des Schritts S143 liegt ein NOP-Befehl S258, dessen Zeitdauer derjenigen des Schritts S142 entspricht.

Man erkennt also, daß die Schleife nach Fig. 22 für jeden Durchlauf dieselbe Zeit benötigt, unabhängig davon, welche Schritte im einzelnen Fall durchlaufen werden.

Fig. 23 ist - bis auf die NOP-Befehle - identisch mit Fig. 17. Deshalb werden die Teile aus Fig. 17 nicht erneut beschrieben. In Fig. 23 ist zwischen dem JA-Ausgang des Schritts S148 und dem Knotenpunkt 260 ein NOP-Befehl S262 eingefügt, der die gleiche Zeitdauer hat wie der Schritt S149, so daß sich für die Ausgangssignale JA und NEIN des Schritts S148 dieselbe Zeitdauer des Durchlaufs bis zum Knotenpunkt 264 ergibt.

Zwischen dem JA-Ausgang des Schritts S152 und dem Knotenpunkt 266 liegt ein NOP-Befehl 268, dessen Zeitdauer dem Schritt S224 entspricht.

Zwischen dem NEIN-Ausgang des Schritts S222, also dem Knotenpunkt 270, und dem Ausgang 272 des Schritts S153, liegen NOP-Befehle S274, deren kombinierte Zeitdauer der Zeitdauer des Schritts S153 entspricht.

Man erkennt also, daß die Schleife nach Fig. 23 für jeden Durchlauf, egal auf welchem Weg, stets dieselbe Zeit benötigt, unabhängig davon, welche Schritte im einzelnen Fall durchlaufen werden.

Wie bereits erläutert, ist die Durchlaufzeit für die Schleife nach Fig. 22 identisch mit der Durchlaufzeit für die Schleife nach Fig. 23. Dies kann ggf. dadurch erreicht werden, daß in Fig. 22 zwischen den JA-Ausgang des Schritts S144 und den Eingang des Schritts S133 ein oder mehrere NOP-Befehle eingeschaltet werden, oder alternativ in Fig. 23 zwischen den JA-Ausgang des Schritts S155 und den Eingang des Schritts S147.

Selbstverständlich sollte die Durchlaufzeit für die Schleifen nach Fig. 22 und 23 möglichst kurz sein. Dies hängt von der Taktfrequenz des Mikroprozessors 20 ab. Bei dem verwendeten Mikroprozessor 17103GS mit einer Taktfrequenz von 6 MHz ergaben sich folgende Zeiten:

Zeit für den Durchlauf einer Schleife nach Fig. 22 oder nach

Fig. 23 (50 Befehle): 133 μ s

Zeit für den Ablauf nach Fig. 19 (38 Befehle): 102 μ s

Zeit für den Ablauf nach Fig. 20 (35 Befehle): 93 μ s

Fig. 24 zeigt in grafischer Darstellung den Durchlauf mehrerer Schleifen im Verlauf der Kommutierungsvorgänge. In Fig. 24a ist das Kommutierungssignal KOMM dargestellt (analog Fig. 21a), und zum Zeitpunkt t_{270} wird angenommen, daß in Fig. 18, Schritt S160, der Zählerstand PZ = 13 erreicht wurde. Deshalb schließt sich in der Berechnungsphase 70 (vgl. Fig. 12) die Berechnung des Wertes PI gemäß Fig. 19 an.

Anschließend an die Berechnungsphase 70 folgen nun Schleifendurchläufe gemäß Fig. 23, und sofern z.B. für PI der Wert 1 errechnet wurde, wird der Strom i_1 nach Ablauf des ersten Schleifendurchlaufs zum Zeitpunkt t_{272} eingeschaltet. Abge-

schaltet wird er nach Ende des Schleifendurchlaufs ($n - x$) zum Zeitpunkt t_{274} , also vor der Änderung des Kommutierungssignals KOMM. Dies wurde bereits ausführlich beschrieben und wird deshalb hier nicht wiederholt. Die Größe x hat bei Fig. 24 den Wert 1, d.h. der Strom i_1 wird nach der vorletzten Schleife abgeschaltet.

Zum Zeitpunkt t_{276} ändert sich das Kommutierungssignal auf H, und in Fig. 18 wird der Zählerstand $PZ = 14$ erreicht. In der Berechnungsphase 76 (vgl. Fig. 12) wird daher erneut der Wert PI gemäß Fig. 19 errechnet, und gemäß diesem Wert PI wird zum Zeitpunkt t_{278} der Strom i_2 eingeschaltet, also zum Beispiel nach dem ersten Schleifendurchlauf gemäß Fig. 22, sofern sich für PI der Wert 1 ergeben hat. Abgeschaltet wird der Strom i_2 nach Ende des Schleifendurchlaufs ($n - x$) zum Zeitpunkt t_{280} , also zeitlich vor der Änderung des Signals KOMM. Dies wurde bereits ausführlich beschrieben und wird deshalb hier nicht wiederholt. (Schritte S134 und S135 in Fig. 16; Schritte S149 und S150 in Fig. 17). Die Größe x hat auch hier als Beispiel den Wert 1, d.h. der Strom i_2 wird nach Ende der vorletzten Schleife abgeschaltet.

Zum Zeitpunkt t_{282} ändert sich das Signal KOMM (Fig. 24a) auf L, und in Fig. 18 wird gleichzeitig der Zählerstand $PZ = 15$ erreicht. Dies bedeutet, daß in der anschließenden Berechnungsphase 80 (vgl. Fig. 12) das Alarmsignal gemäß Fig. 20 berechnet wird. Anschließend werden dann erneut die Schleifen gemäß Fig. 23 durchlaufen. Der Wert PI wird in diesem Fall aus der Berechnungsphase 76 unverändert übernommen, wie bereits bei Fig. 12 beschrieben.

Der Kommutierungszähler KZ zählt also jeweils die Zahl der Schleifen gemäß Fig. 22 oder 23, die durchlaufen werden, und bestimmt daraus angenähert den zeitlichen Abstand zwischen aufeinanderfolgenden Kommutierungszeitpunkten, z.B. zwischen den Zeitpunkten t_{270} , t_{276} , t_{282} etc. Da jede Schleife eine vorgegebene Zeitdauer hat, mißt also der Kommutierungszähler KZ eine Zeitdauer.

Die Berechnungsphasen 70, 76, 80 etc. haben eine vorgegebene Zeitdauer, d.h. mit zunehmender Drehzahl des Motors nimmt ihr prozentualer Anteil an der Zeitdauer zwischen zwei Kommutierungssignalen (z.B. zwischen t_{270} und t_{276} in Fig. 24) zu, was vorteilhaft ist. Die Berechnungsphasen bewirken eine Stromlücke, die besonders bei zweipulsigen Motoren von Vorteil ist, speziell bei hohen Drehzahlen und folglich hohen Amplituden der Ströme i_1 und i_2 . Wenn z.B. in Fig. 24c die Amplitude des Stromes i_1 so hoch ist, daß dieser zum Kommutierungszeitpunkt t_{276} noch nicht auf 0 abgesunken ist, so stört das nicht, da dieser Strom i_1 erst am Ende der Berechnungsphase 76 den Wert 0 erreicht haben muß, denn frühestens zu diesem Zeitpunkt kann der Strom i_2 eingeschaltet werden.

(Die Ströme i_1 und i_2 sollten nicht gleichzeitig fließen, da dies zu starken Funkstörungen und Motorgeräuschen führen kann und den Wirkungsgrad des Motors verschlechtert. Auch würden hierdurch hohe Bremsmomente entstehen.) Analoges gilt für den Strom i_2 , der erst innerhalb der Berechnungsphase 80 den Wert 0 erreicht zu haben braucht.

Wie bereits an einem Zahlenbeispiel dargelegt, kann die Dauer der Berechnungsphasen 70, 76, 80 etc. etwas differieren, je nachdem, ob eine Berechnung des PI-Wertes (Fig. 19) oder eine Alarmberechnung (Fig. 20) durchgeführt wird. Die Differenzen in der Dauer der Berechnungsphasen liegen gewöhnlich in der Größenordnung einiger μs , so daß sie auf den Lauf des Motors keinen Einfluß haben. Man könnte aber auch die Berechnungsphasen mittels NOP-Befehlen gleich lang machen, sofern das gewünscht wird.

Die Durchlaufzeiten durch die Schleifen nach Fig. 22 und 23 sollten dagegen möglichst exakt gleich lang sein, da die Schleifendurchläufe im Kommutierungszähler KZ aufsummiert werden und sich folglich auch kleinere Differenzen bei der Summenbildung aufsummieren und zu einem unruhigen Lauf des Motors führen können. Beträgt z.B. die zeitliche Differenz zwischen einem Schleifendurchlauf der Fig. 22 und einem Schleifendurchlauf der Fig. 23 drei μs , und die Schleifen werden jeweils 50 mal durchlaufen, so ergibt sich eine zeitliche Differenz von $50 \times 3 \mu s = 150 \mu s$, was mehr als der Zeitdauer eines vollen Schleifendurchlaufs entsprechen würde. Solche Fehler müssen vermieden werden, wenn ein ruhiger Lauf des Motors erwünscht ist.

Fig. 25 zeigt die Schaltung analog Fig. 1 bei Auslegung des Motors auf maximale Drehzahl, also ohne Drehzahlregelung. Der Eingang 6 des Mikroprozessors 20 ist über einen Widerstand 286 mit der Minusleitung 46 verbunden. Dies entspricht einem ständigen Wert von $U_{di} = 0$, also dem Bruch der Zuleitung zum Sensor 26 an der Stelle 54 oder 55 der Fig. 1. In diesem Fall läuft der Motor unregelt mit maximaler Drehzahl; d.h. gemäß Schritt S165 in Fig. 19 wird $PI = 0$ gesetzt, und es fließt ein Motorstrom direkt ab dem Ende der jeweiligen Berechnungsphase 70, 76, 80 etc. (Fig. 12 und 24).

Die anderen Funktionen des Motors bleiben aber auch bei Fig. 25 unverändert erhalten, d.h. der Motor kann leistungslos ein- und ausgeschaltet werden (Schritt S132 in Fig. 15), die Alarmfunktion arbeitet unverändert, wie anhand von Fig. 20 beschrieben, ebenso die Blockiersicherung (Schritte S214, S216 in Fig. 16; Schritte S228, S230 in Fig. 17). Mittels der in Fig. 5 dargestellten Eingänge NG0, NG1 können verschiedene Alarmdrehzahlen programmiert werden. Mittels des Eingangs SEN (Fig. 5) kann gemäß Fig. 20 die Alarmspeicherung programmiert werden, und mittels des Eingangs

ATS die Alarmverzögerung. In diesem Fall übernimmt also der Mikroprozessor 20 die Kommutierung, die Blockiersicherung, und die Alarmüberwachung, während eine Drehzahlregelung entfällt. Die Drehzahl des Motors wird in diesem Fall vorgegeben durch die Betriebsspannung, und durch die Auslegung der Wicklung des Motors. Es hat sich gezeigt, daß diese Variante in vielen Fällen ausreicht und eine preiswerte Alternative darstellt, besonders im Hinblick auf die Alarmüberwachung und die Blockiersicherung, welche beide von dem Mikroprozessor übernommen werden, der auch die Kommutierung des Motors steuert.

Naturgemäß sind vielfache Abweichungen und Modifikationen möglich. Die analoge Vorrichtung zur Berechnung der Regelabweichung kann auch durch eine digital arbeitende Vorrichtung nach dem gleichen Prinzip ersetzt werden, wobei dann als Speicherglied beispielsweise ein Zähler verwendet werden kann, der bei Erreichen eines bestimmten temperaturabhängigen Grenzwerts ein Signal U_{diff} abgibt. Das Prinzip bleibt genau dasselbe. Jedoch wird die analoge Messung derzeit bevorzugt, da sie außerordentlich einfach ist und keinen Analog-Digital-Wandler, z.B. für die Temperatur, erfordert.

Im vorstehend beschriebenen Ausführungsbeispiel für einen zweipoligen Rotor 27 wurden die Drehstellungswerte in mechanischen Graden angegeben, z.B. 180° . Bei einem Rotor mit mehr als einem Polpaar müssen diese Werte durch elektrische Grade ersetzt werden, also z.B. statt 180° dann 180° el. (electrical degrees), wie das dem Fachmann des Elektromaschinenbaus geläufig ist.

Patentansprüche

1. Verfahren zur Beeinflussung der Drehzahl eines kollektorlosen Gleichstrommotors, mit folgenden Schritten:
Jeweils im Bereich einer ersten vorgegebenen Rotorstellung (Fig. 12: 0° oder 360°), insbesondere eines ersten Kommutierungszeitpunkts, wird eine Größe, insbesondere die Spannung (U_C) an einem Kondensator (C), auf einen Anfangswert gesetzt und anschließend zeitabhängig verändert;
diese Größe wird mit einer anderen Größe verglichen, welche insbesondere von einer zu beeinflussenden Größe abhängig ist, z.B. von einer Temperatur, um bei einem vorgegebenen Vergleichskriterium ein Vergleichssignal (U_{diff}) zu erzeugen;
die zeitliche Differenz (T_d) zwischen dem Beginn des Vergleichssignals (U_{diff}) und dem Zeitpunkt einer auf die erste vorgegebene Rotorstellung folgenden zweiten vorgegebenen Rotorstellung (Fig. 12: Etwa 180°), insbesondere eines auf den ersten Kommutierungszeitpunkt

folgenden zweiten Kommutierungszeitpunkts, oder ein dieser zeitlichen Differenz angenäherter Wert (T_d'), sowie das Vorzeichen dieser zeitlichen Differenz, werden erfaßt;
anhand dieser zeitlichen Differenz (T_d , T_d') und ihres Vorzeichens werden nach mindestens einer vorgegebenen Regel (Fig. 16: S139; Fig. 17: S153; Fig. 16: S166) Einschaltung und/oder Abschaltung des Statorstroms (i_1 , i_2) zeitlich gesteuert.

2. Verfahren nach Anspruch 1, bei welchem das Speicherglied (C) entweder direkt nach Beginn des Vergleichssignals (U_{diff}) oder dann auf den Anfangswert gesetzt wird, wenn eine vorgegebene Rotorstellung (Fig. 12: 0° oder 180°) zeitlich mit dem Vorhandensein des Vergleichssignals (U_{diff}) zusammenfällt.
3. Verfahren nach Anspruch 1 oder 2, bei welchem der Beginn der zeitabhängigen Veränderung der Größe (U_C) durch das Erreichen einer vorgegebenen Rotorstellung (Fig. 12: etwa 10°) oder einer aus einer Mehrzahl von vorgegebenen Rotorstellungen gestartet wird.
4. Verfahren nach einem oder mehreren der vorhergehenden Ansprüche, bei welchem während der Erfassung der zeitlichen Differenz (T_d , T_d') ein Regelparameter, insbesondere der P-Faktor einer Proportionalregelung und/oder der I-Faktor einer Integralregelung, fortlaufend im Sinne einer Anpassung an die gemessene zeitliche Differenz (T_d , T_d') und deren Vorzeichen verändert wird, so daß nach Ablauf dieser zeitlichen Differenz (T_d , T_d') bereits ein geänderter Parameter vorliegt.
5. Verfahren nach Anspruch 4, bei welchem in einem ersten Drehwinkelbereich des Rotors (Fig. 13: Ab 180°) der mindestens eine Parameter (P, I) dann verändert wird, wenn die Drehzahl des Motors zu hoch ist, und in einem vom ersten Drehwinkelbereich verschiedenen zweiten Drehwinkelbereich (Fig. 12: Vor 180°) der mindestens eine Parameter dann verändert wird, wenn die Drehzahl zu niedrig ist.
6. Verfahren nach Anspruch 4 oder 5, bei welchem der mindestens eine Parameter bei zu niedriger Drehzahl (Fig. 12) am Ende eines Kommutierungszyklus (KOMM = L) und bei zu hoher Drehzahl (Fig. 13) zu Beginn eines Kommutierungszyklus (KOMM = H) verändert wird.
7. Verfahren zur Beeinflussung der Drehzahl eines kollektorlosen Gleichstrommotors, insbesondere nach einem oder mehreren der vor-

- hergehenden Ansprüche, bei welchem, insbesondere bei einem ein- oder zweisträngigen kollektorlosen Motor, Rechenschritte, z.B. für die Berechnung einer Stellgröße (PI) für den Regelvorgang, oder für die Berechnung eines Alarmsignals bei Drehzahlunterschreitung, innerhalb mindestens eines vorgegebenen Drehstellungsbereichs (Fig. 12: Etwa 0 bis 10° und etwa 180 bis 190°) des Rotors ausgeführt werden, bei dem mindestens ein Strang des Motors stromlos ist und bevorzugt alle Stränge (31, 32) des Motors stromlos sind.
8. Verfahren nach Anspruch 7, bei welchem in dem vorgegebenen Drehstellungsbereich in zeitlichen Abständen unterschiedliche Rechenschritte ausgeführt werden, z.B. einmal die Berechnung einer Stellgröße (Fig. 19), und ein anderes Mal die Prüfung, ob eine Drehzahlunterschreitung vorliegt, bei der ein Alarm ausgelöst werden muß (Fig. 20).
9. Verfahren zur Beeinflussung der Drehzahl eines kollektorlosen Gleichstrommotors, insbesondere nach einem oder mehreren der vorhergehenden Ansprüche, mit folgenden Schritten:
- a) in einer der Bestromung eines vorgegebenen Stranges vorhergehenden Zeitspanne wird der zeitliche Abstand zwischen zwei aufeinanderfolgenden Kommutierungszeitpunkten (Fig. 3: t_a , t_b), oder ein diesem zeitlichen Abstand etwa entsprechender Wert (Fig. 21: KZ_{alt}) - im folgenden Kommutierungs-Zeitwert genannt - erfaßt und gespeichert;
 - b) bei der Bestromung des vorgegebenen Stranges wird die Zeitdauer der Bestromung etwa ab dem Zeitpunkt der Kommutierung fortlaufend erfaßt (Zähler KZ);
 - c) bei Erreichen einer Zeitdauer (KZ'_{alt}) der Bestromung, welche um eine vorgegebene Zeitspanne (D) kleiner ist als der Kommutierungs-Zeitwert (KZ_{alt}), wird die Bestromung dieses Stranges abgeschaltet.
10. Verfahren nach Anspruch 9, bei welchem die vorgegebene Zeitdauer (D) konstant ist.
11. Verfahren nach Anspruch 9, bei welchem die vorgegebene Zeitdauer (D) durch das Ausgangssignal eines Drehzahlreglers variiert wird.
12. Verfahren nach einem oder mehreren der Ansprüche 9 bis 11, bei welchem der Abschaltvorgang der Bestromung durch Verzögerungsmittel (Fig. 14: 35, 36, 37, 38, 123, 124) im Bereich von Endstufentransistoren (33, 34) ver-
- langsam wird.
13. Verfahren zur Beeinflussung der Drehzahl eines kollektorlosen Gleichstrommotors, insbesondere nach einem oder mehreren der vorhergehenden Ansprüche, mit folgenden Schritten:
- a) Schritte (Fig. 12; Fig. 17), welche einem Zustand mit zu niedriger Drehzahl zugeordnet sind, werden mindestens teilweise in mindestens einem ersten vorgegebenen Drehstellungsbereich (Fig. 12: Von etwa 10° bis 180°) des Rotors ausgeführt;
 - b) Schritte (Fig. 13; Fig. 16), welche einem Zustand mit zu hoher Drehzahl zugeordnet sind, werden mindestens teilweise in mindestens einem zweiten vorgegebenen Drehstellungsbereich (Fig. 13: Von etwa 190° bis 360°) des Rotors ausgeführt, welcher zweite Drehstellungsbereich vom ersten Drehstellungsbereich verschieden ist.
14. Verfahren nach Anspruch 13, bei welchem Schritte (Fig. 19, Fig. 20), welche einem Zustand mit zu hoher Drehzahl und einem Zustand mit zu niedriger Drehzahl gemeinsam sind, während mindestens eines dritten vorgegebenen Drehstellungsbereichs (Fig. 12 und 13: 0° bis etwa 10°, und 180° bis etwa 190°) ausgeführt werden, welcher vom ersten und vom zweiten Drehstellungsbereich verschieden ist.
15. Verfahren zur Beeinflussung der Drehzahl eines kollektorlosen Gleichstrommotors, insbesondere nach einem oder mehreren der vorhergehenden Ansprüche, bei welchem dann, wenn bei einem durch eine Temperatur hinsichtlich seiner Drehzahl geführten Motor (25) die Drehzahl (n) infolge niedriger Temperatur niedrig ist, die Größe des Integralfaktors (I) einer Integralregelung oder einer Proportional-Integral-Regelung bei Überschreiten eines Grenzwerts (Fig. 19: S1) auf einen niedrigeren Wert (Fig. 19: R1) zurückgesetzt wird.
16. Verfahren nach einem oder mehreren der vorhergehenden Ansprüche, bei welchem dann, wenn bei der Erfassung der Zeitspanne (T_d) zwischen dem auf den ersten Kommutierungszeitpunkt (Fig. 8: t_{17}) folgenden zweiten Kommutierungszeitpunkt (Fig. 8: t_{18}) und dem danach erwarteten Auftreten des Vergleichssignals (U_{d11}) die erfaßte Zeitspanne (T_d) etwa den zeitlichen Abstand zwischen zwei Kommutierungszeitpunkten (Fig. 8: t_{17} , t_{18}) entspricht, die Drehzahl des Motors auf einen hohen Wert umgeschaltet wird (Fig. 19: Schritte S164,

S165).

17. Verfahren nach Anspruch 16, bei welchem in diesem Fall der Motor als unregelter Motor mit voller Leistung betrieben wird.
18. Verfahren zur Beeinflussung der Drehzahl eines kollektorlosen Gleichstrommotors, insbesondere nach einem oder mehreren der vorhergehenden Ansprüche, mit folgenden Merkmalen:
 - a) bei der Bestromung eines vorgegebenen Stranges wird die Zeitdauer (KZ) der Kommutierungsphase etwa ab der Kommutierung zu Beginn dieser Kommutierungsphase bis etwa zur Kommutierung am Ende dieser Kommutierungsphase fortlaufend erfaßt;
 - b) diese Zeitdauer (KZ) wird mit einem vorgegebenen Schwellwert (Fig. 16 und 17: S3) verglichen;
 - c) überschreitet diese Zeitdauer (KZ) den Schwellwert (S3), so wird der Motor während eines vorgegebenen Zeitintervalls stromlos gemacht (Fig. 16: S214, S216; Fig. 17: S228, S230);
 - d) nach Ablauf des vorgegebenen Zeitintervalls wird ein neues Einschalten des Motors versucht.
19. Verfahren nach Anspruch 18, bei welchem nach Ablauf des vorgegebenen Zeitintervalls ein Alarmsignal (ALARM) gesetzt wird (Fig. 20: S176).
20. Verfahren nach Anspruch 18 oder 19, bei welchem die Zeitdauer (KZ) der Kommutierungsphasen für mehr als einen Strang (31,32) fortlaufend erfaßt und jeweils mit dem Schwellwert (S3) verglichen wird.
21. Verfahren zum Beeinflussen der Drehzahl eines kollektorlosen Gleichstrommotors, insbesondere nach einem oder mehreren der vorhergehenden Ansprüche, bei welchem während einer Kommutierungsphase mehrfach eine Programmschleife (Fig. 16, 17) vorgegebener zeitlicher Länge durchlaufen und jeder Durchlauf in einem Schleifenzähler (KZ) registriert wird.
22. Verfahren nach Anspruch 21, bei welchem die Schleifen (Fig. 16; Fig. 17) verschiedener Kommutierungsphasen verschiedene Programmstrukturen haben.
23. Verfahren nach Anspruch 21 oder 22, bei welchem der Schleifenzähler (KZ) mindestens ei-

nen Vorgang im Verlauf einer Kommutierungsphase steuert, z.B. Einschalten eines Stromes (S133), Ausschalten eines Stromes (S134) und/oder Überwachung einer Mindestdrehzahl (S212).

24. Verfahren nach einem oder mehreren der Ansprüche 21 bis 23, bei welchem die Programmschleife einen Meßalgorithmus (S137, 138, 139) zur Erfassung einer einer Regelabweichung entsprechenden zeitlichen Differenz (T_d , T_d') aufweist.
25. Verfahren nach Anspruch 24, bei welchem der Meßalgorithmus Schritte (S139; S153) zur Anpassung eines Regelparameters (I, P) an die erfaßte zeitliche Differenz (T_d , T_d') aufweist.
26. Verfahren nach Anspruch 24 oder 25, bei welchem der Meßalgorithmus (S139; S153) in Form einer Verzweigung in der Programmschleife enthalten ist, welche nur während der Dauer der zeitlichen Differenz (T_d , T_d') durchlaufen wird.
27. Verfahren nach Anspruch 26, bei welchem die zeitliche Dauer für das Durchlaufen einer Programmschleife mindestens nahezu unabhängig davon ist, ob die Verzweigung durchlaufen wird oder nicht.
28. Kollektorloser Gleichstrommotor (25) mit einer Anordnung zum Beeinflussen seiner Drehzahl (n), mit folgenden Merkmalen:
 - a) ein Speicherglied, insbesondere ein Kondensator (C), ist vorgesehen, und das Signal (U_C) an diesem Speicherglied (C) wird jeweils bei Erreichen einer ersten vorgegebenen Drehstellung (Fig. 21: KZ = 0) des Rotors (27) auf einen Anfangswert gesetzt und anschließend zeitabhängig verändert (Fig. 21b);
 - b) ein Vergleichsglied (57) ist vorgesehen, an welchem dieses erste Signal (U_C) mit einem zweiten Signal (Fig. 1: Potential am Knotenpunkt 53) verglichen wird, welches von einer zu beeinflussenden Größe abhängig ist, insbesondere von einer Temperatur, um bei einem vorgegebenen Vergleichskriterium ein Vergleichssignal (U_{diff}) zu erzeugen;
 - c) ein Meßglied (20, KZ) ist vorgesehen, um die zeitliche Differenz (T_d , T_d'), sowie das Vorzeichen, zwischen dem Beginn (Fig. 6: t_{11} ; Fig. 8: t_{15}) dieses Vergleichssignals (U_{diff}) und dem Erreichen einer auf die erste vorgegebene Drehstellung folgenden zweiten vorgegebenen Drehstellung (Fig. 6: t_{12} ;

Fig. 8: t_{18}) des Rotors, oder umgekehrt, zu erfassen;

d) ein Berechnungsglied (20) ist vorgesehen, welches nach mindestens einer vorgegebenen Regel anhand der Größe der zeitlichen Differenz (T_d ; T_d') und ihres Vorzeichens den Einschaltzeitpunkt (Fig. 21: $KZ = PI$) und/oder den Ausschaltzeitpunkt (Fig. 21: $KZ = KZ'_{alt}$) eines zum Antrieb des Motors dienenden Statorstroms (i_1 , i_2) beeinflusst.

29. Motor nach Anspruch 28, bei welchem das Speicherglied (C) entweder direkt nach Beginn des Vergleichssignals (U_{d11}) oder dann auf den Anfangswert zurückgesetzt wird (Fig. 21b, links), wenn eine vorgegebene Rotorstellung zeitlich mit dem Vorhandensein des Vergleichssignals (U_{d11}) zusammenfällt.

30. Motor nach Anspruch 28 oder 29, bei welchem die vorgegebene Rotorstellung - im folgenden Kommutierungsstellung genannt - eine solche ist, bei welcher sich ein für die Motorsteuerung dienendes drehstellungsabhängiges Signal (KOMM) zum Zwecke der Kommutierung ändert.

31. Motor nach den Ansprüchen 28 und 30, bei welchem die erste vorgegebene Drehstellung des Rotors (27) eine erste Kommutierungsstellung und die zweite vorgegebene Drehstellung des Rotors die auf die erste Kommutierungsstellung folgende nächste Kommutierungsstellung ist.

32. Motor nach Anspruch 30 oder 31, bei welchem die erste vorgegebene Drehstellung des Rotors stets eine Kommutierungsstellung ist, bei welcher sich das für die Motorsteuerung dienende Signal (KOMM) in einer vorgegebenen Weise ändert, z.B. von hoch (H) nach niedrig (L).

33. Kollektorloser Gleichstrommotor mit einer Anordnung zur Überwachung seiner Drehzahl darauf, ob diese Drehzahl im Betrieb einen unteren Grenzwert unterschreitet, mit folgenden Merkmalen:

a) Es ist eine Vorrichtung vorgesehen, welche die Zeitdauer (KZ) einer Kommutierungsphase etwa ab der Kommutierung zu Beginn dieser Kommutierungsphase bis etwa zur Kommutierung am Ende dieser Kommutierungsphase fortlaufend erfaßt;

b) es ist eine Vorrichtung zum Vergleich dieser Zeitdauer (KZ) mit einem vorgegebenen Schwellenwert (Fig. 16, 17, 22, 23: S3) vorgesehen;

c) es ist eine Vorrichtung vorgesehen, welche ein Alarmsignal (ALARM) erzeugt (Fig. 20: S176), wenn diese Zeitdauer (KZ) den Schwellenwert (S3) überschreitet.

34. Motor nach Anspruch 33, bei welchem etwa während der Dauer einer Kommutierungsphase nacheinander mehrfach eine Programmschleife (Fig. 22, 23) vorgegebener zeitlicher Dauer durchlaufen und jeder Durchlauf in einem Zähler (KZ) erfaßt wird, um die Zeitdauer einer Kommutierungsphase zu erfassen.

35. Verfahren zur Überwachung eines kollektorlosen Gleichstrommotors, insbesondere nach einem oder mehreren der vorhergehenden Ansprüche, mit folgenden Merkmalen:

a) Bei der Bestromung eines vorgegebenen Stranges wird die Zeitdauer (KZ) der Kommutierungsphase etwa ab der Kommutierung zu Beginn dieser Kommutierungsphase bis etwa zur Kommutierung am Ende dieser Kommutierungsphase fortlaufend erfaßt;

b) diese Zeitdauer (KZ) wird mit einem vorgegebenen Schwellenwert (Fig. 16, 17, 22, 23: S3) verglichen;

c) überschreitet diese Zeitdauer (KZ) den Schwellenwert (S3), so wird, ggf. unter Berücksichtigung zusätzlicher Parameter, ein Alarmsignal (ALARM) gesetzt (Fig. 20: S176).

36. Verfahren nach Anspruch 35, bei welchem etwa während der Dauer einer Kommutierungsphase nacheinander mehrfach eine Programmschleife (Fig. 22, 23) vorgegebener zeitlicher Dauer durchlaufen wird und jeder Schleifendurchlauf in einem Zähler (KZ) erfaßt wird, um die Zeitdauer dieser Kommutierungsphase fortlaufend zu erfassen.

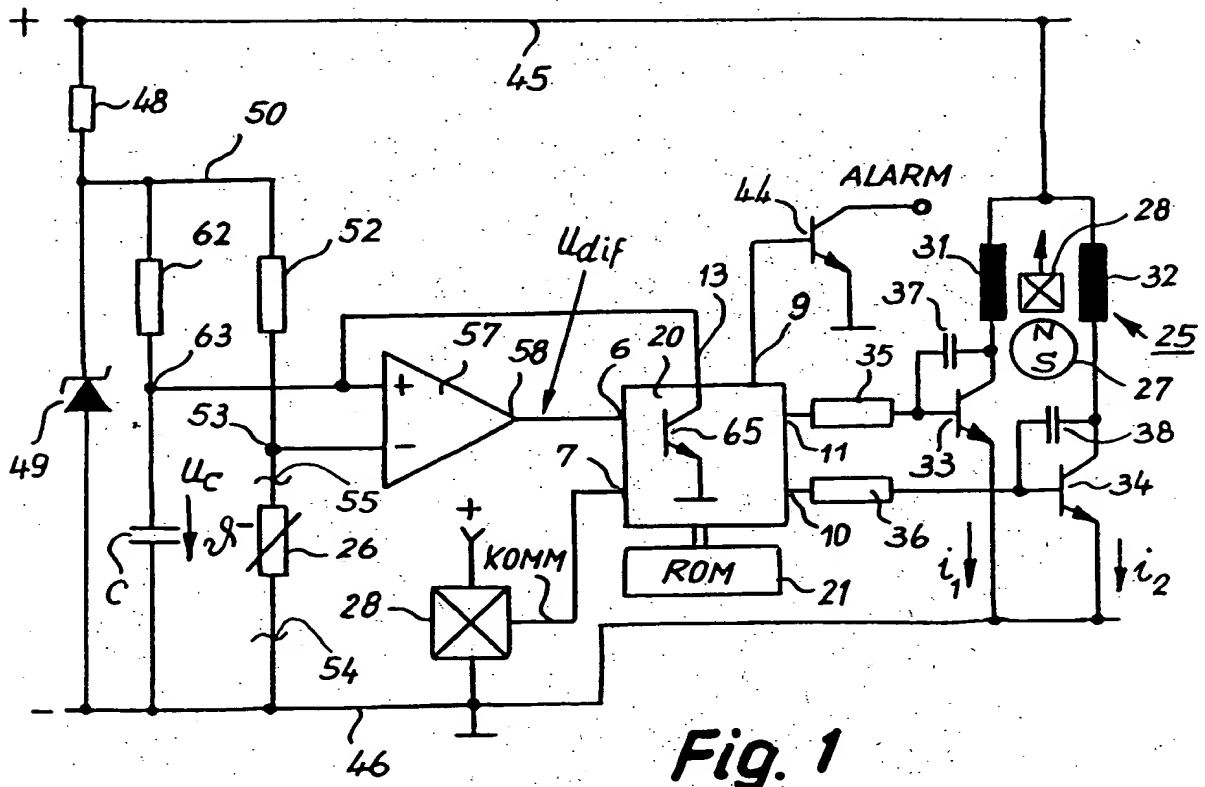


Fig. 1

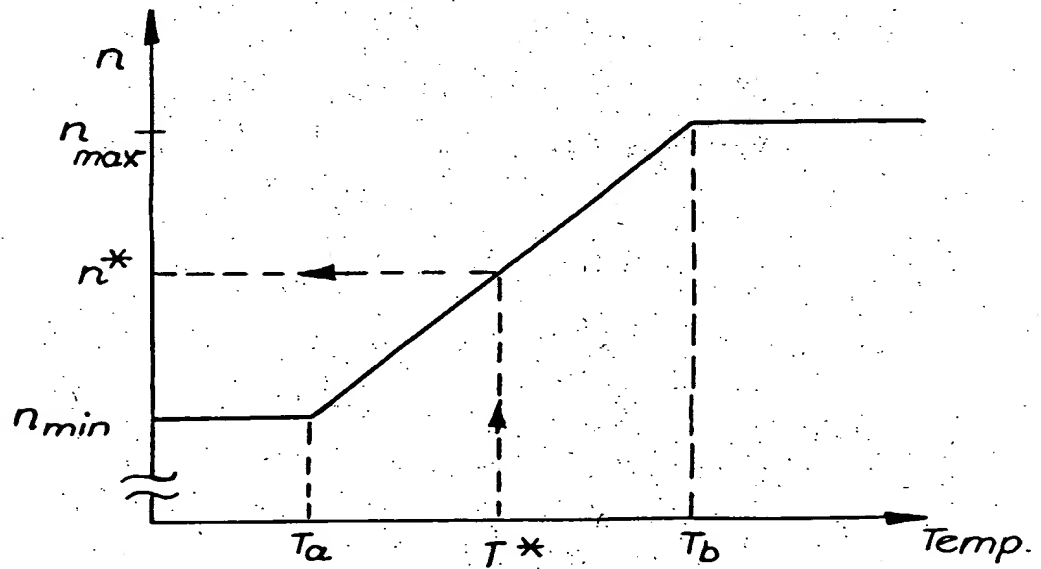


Fig. 2

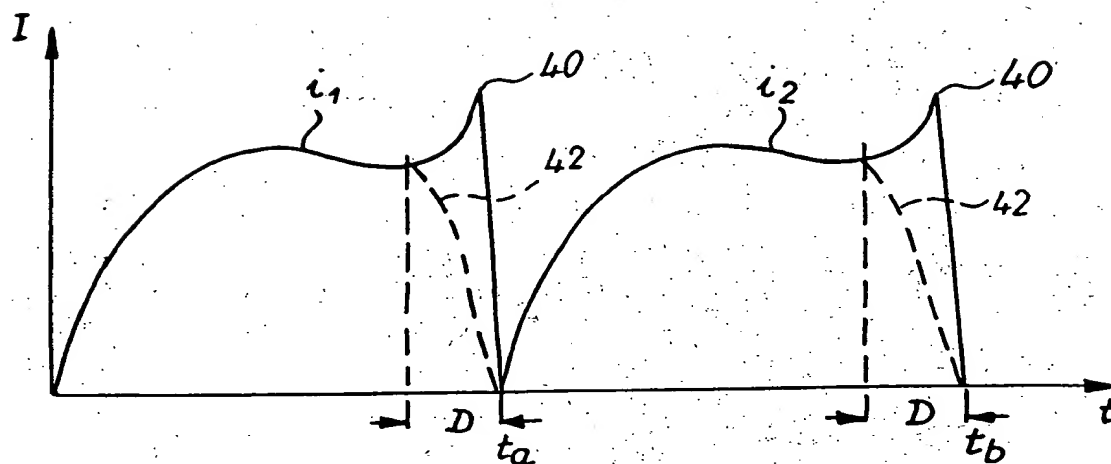


Fig. 3

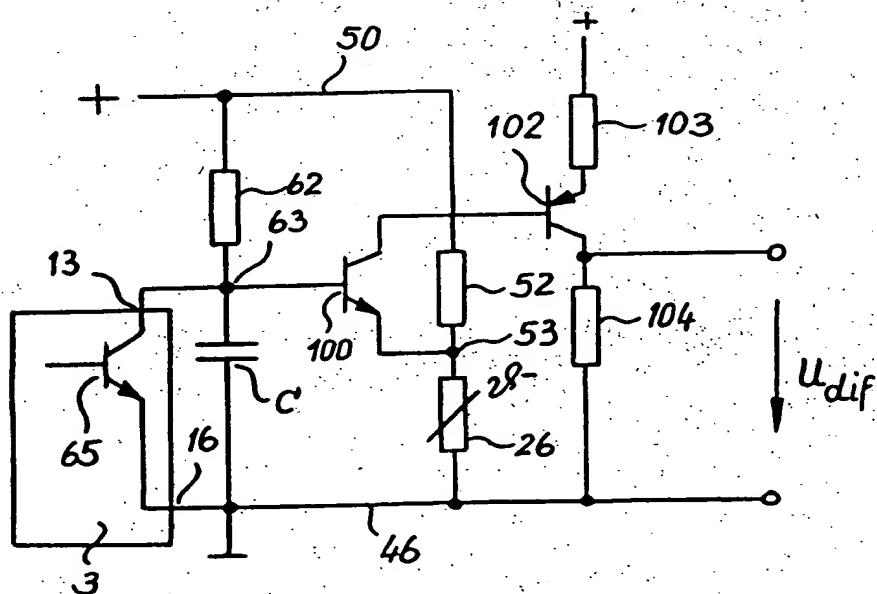


Fig. 4

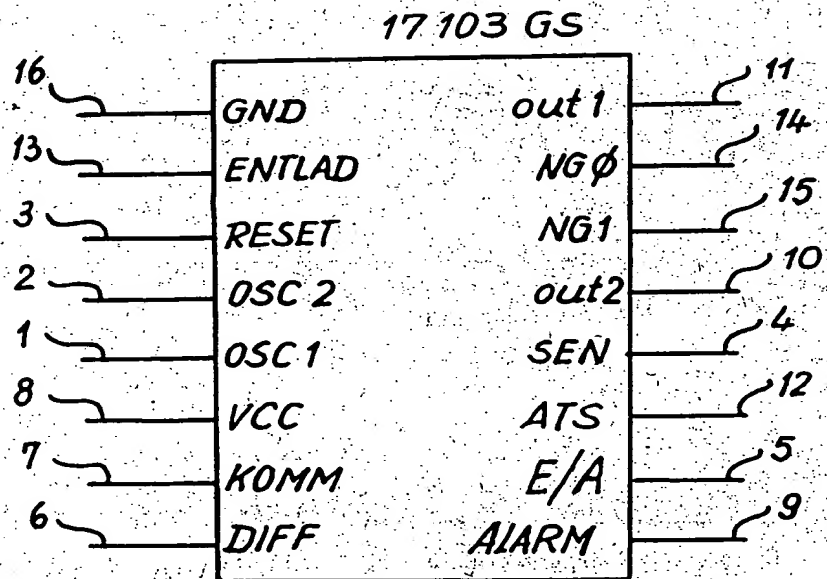


Fig. 5

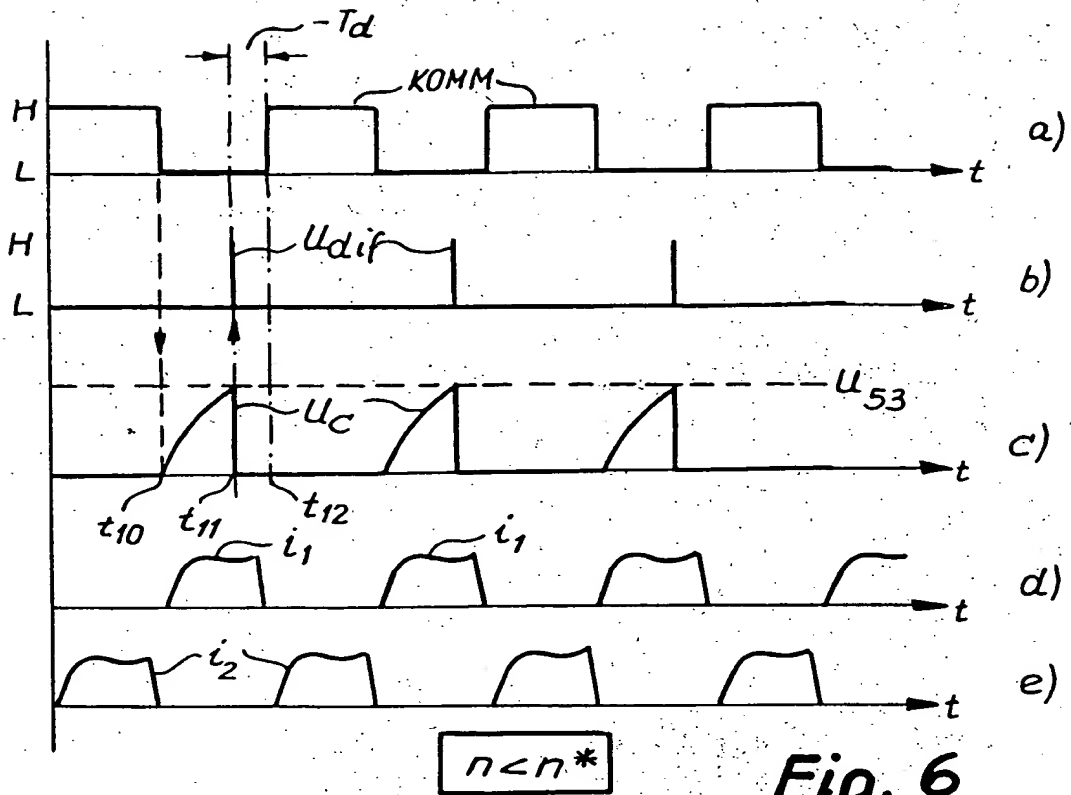


Fig. 6

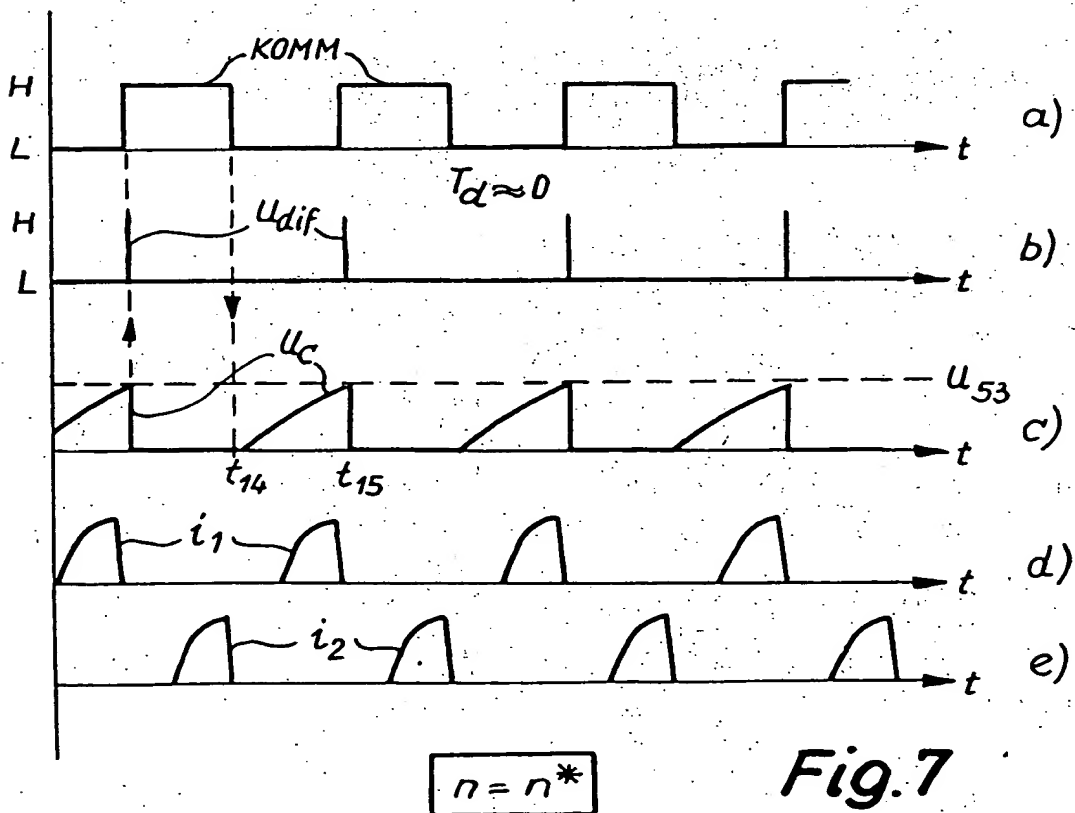


Fig. 7

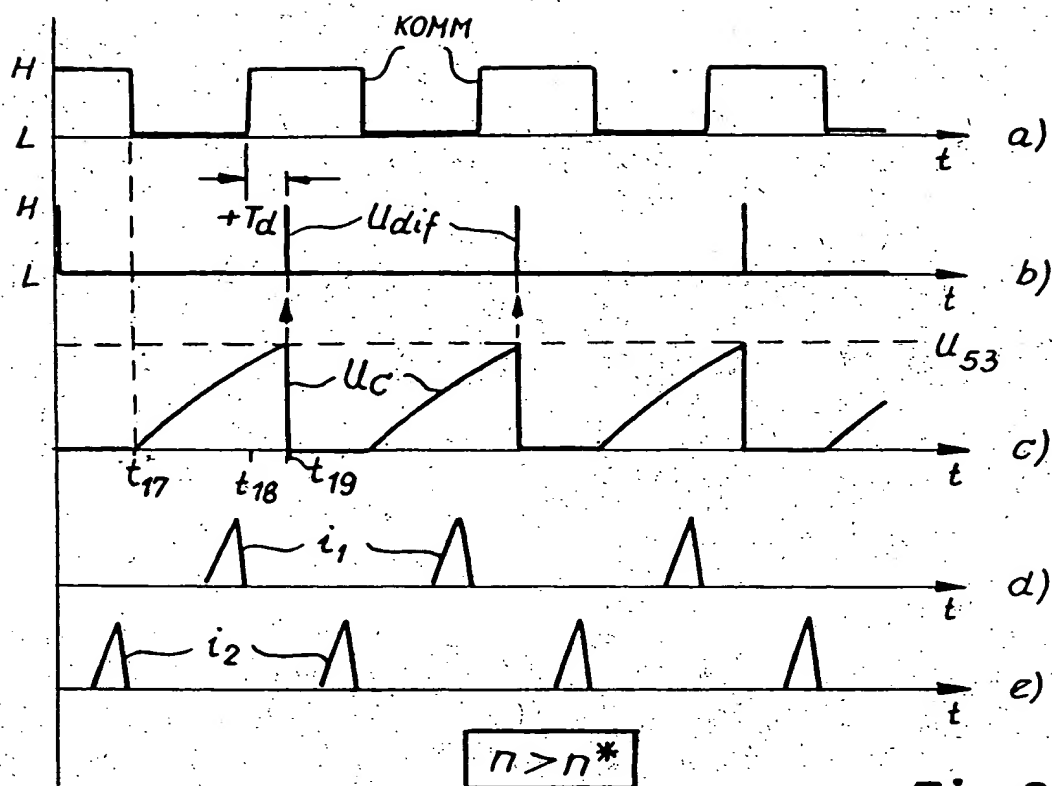


Fig. 8

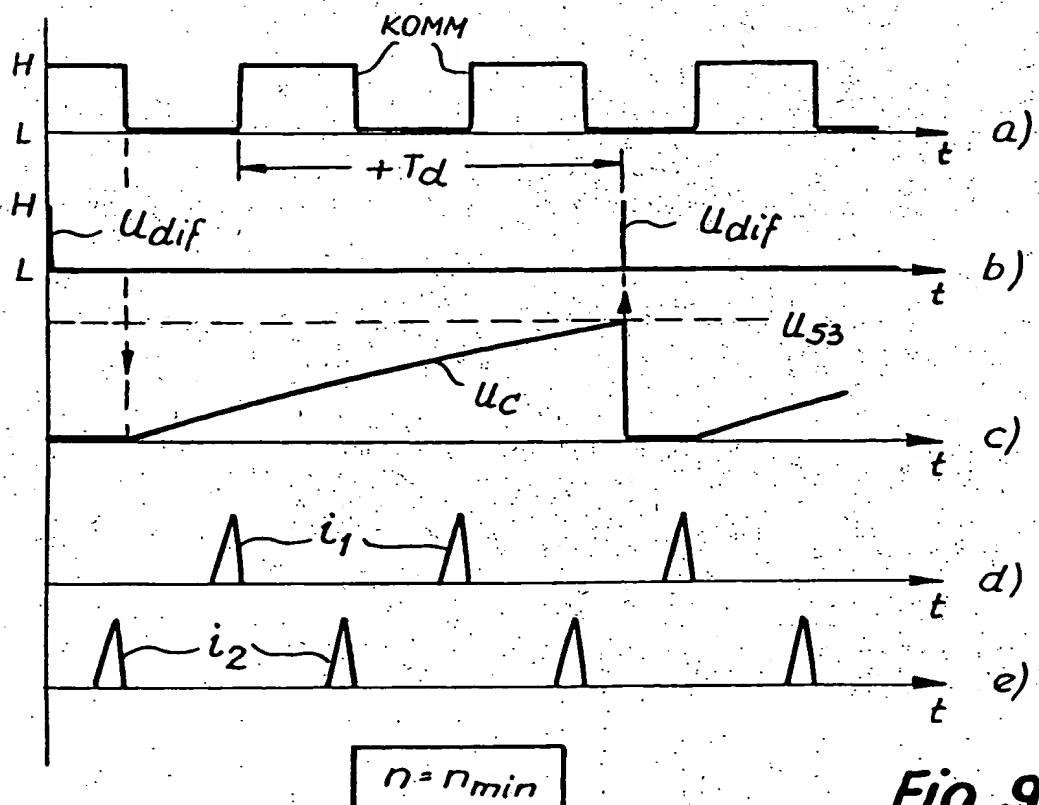


Fig. 9

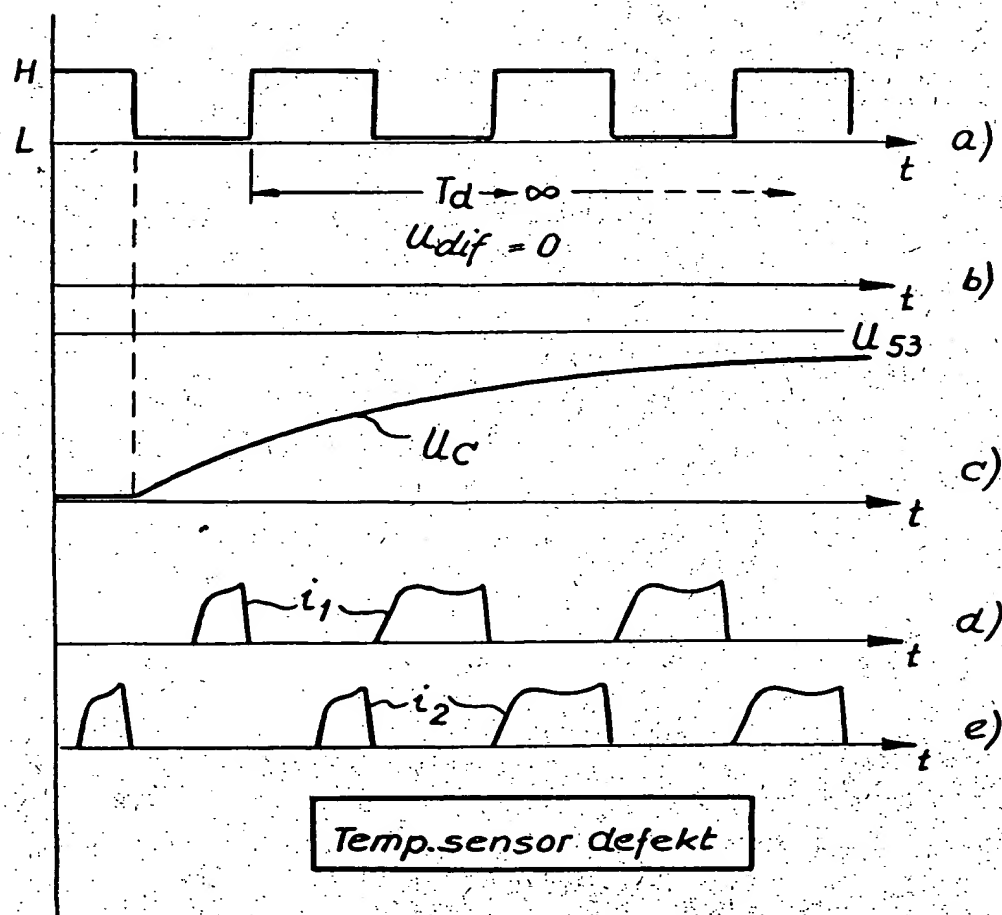


Fig. 10

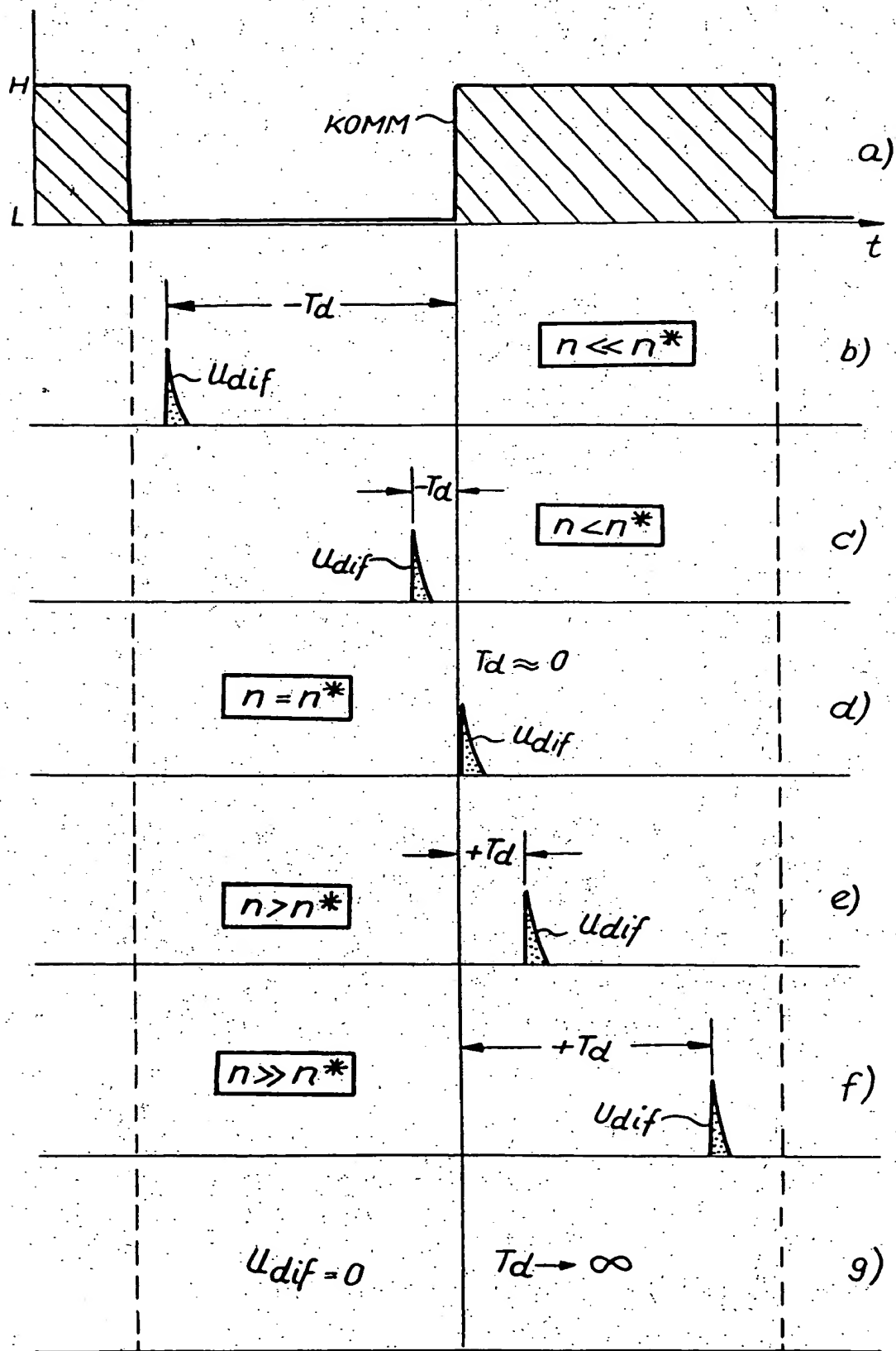
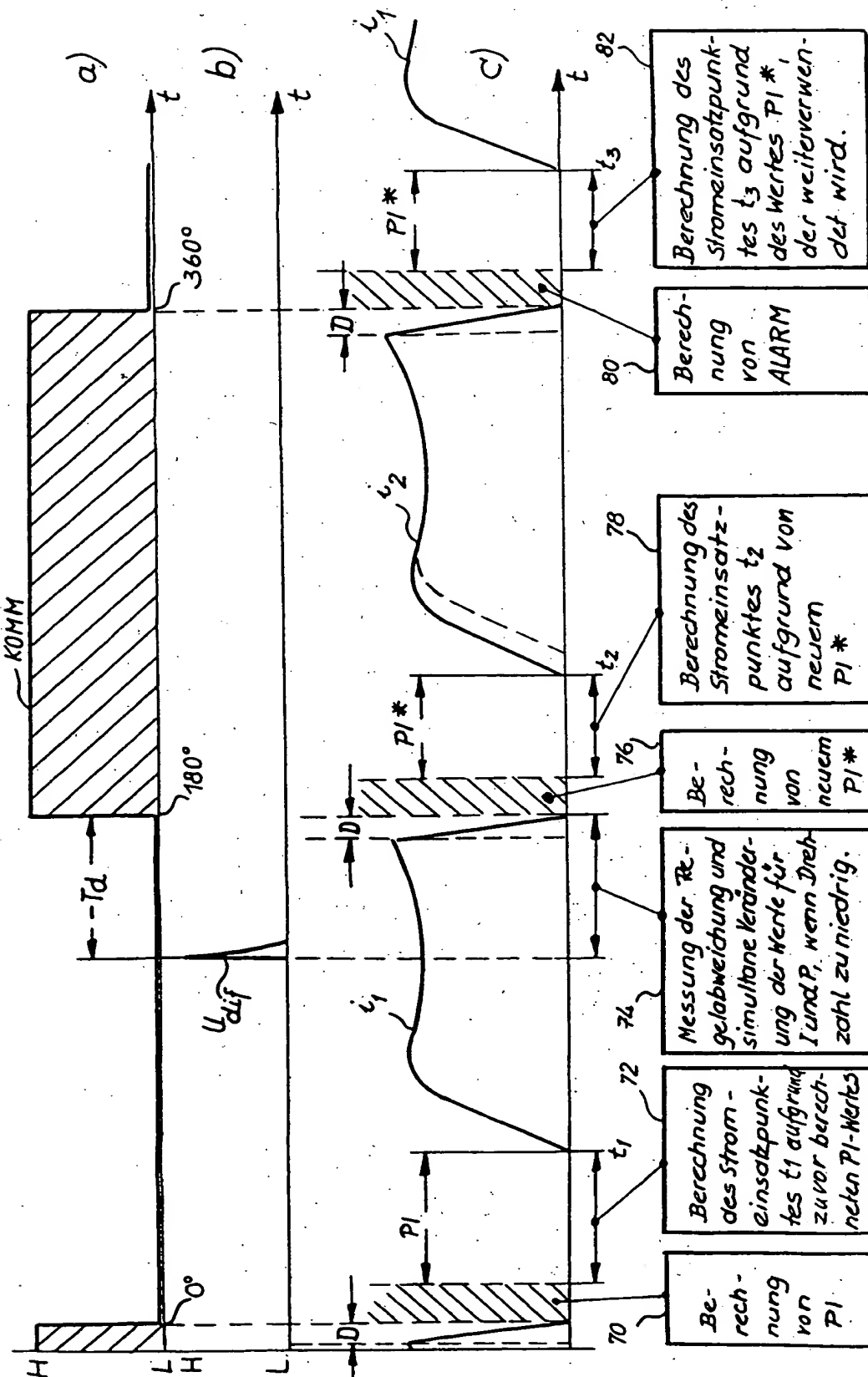


Fig. 11



Motor zu langsam

Fig. 12

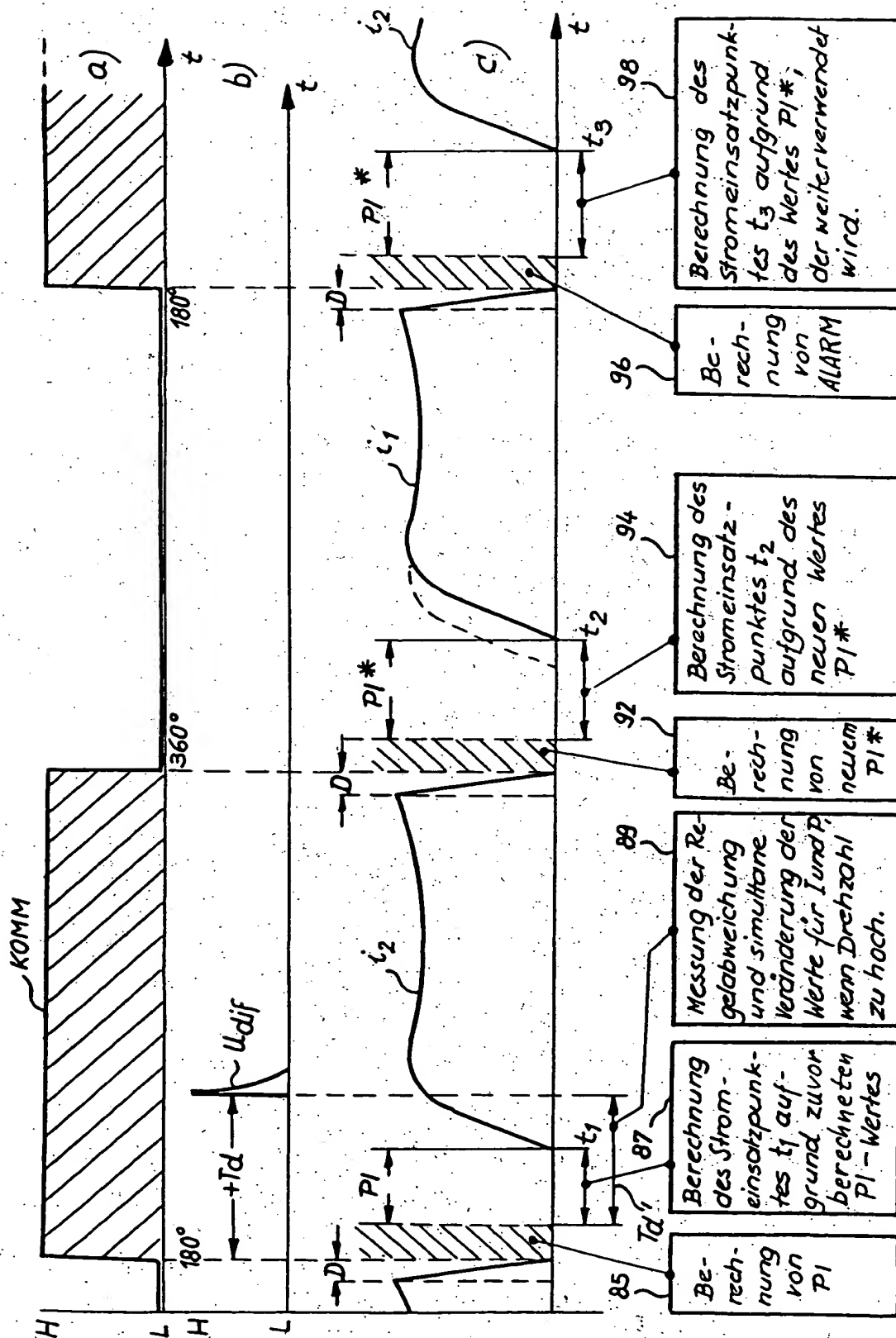


Fig. 13

Motor zu schnell

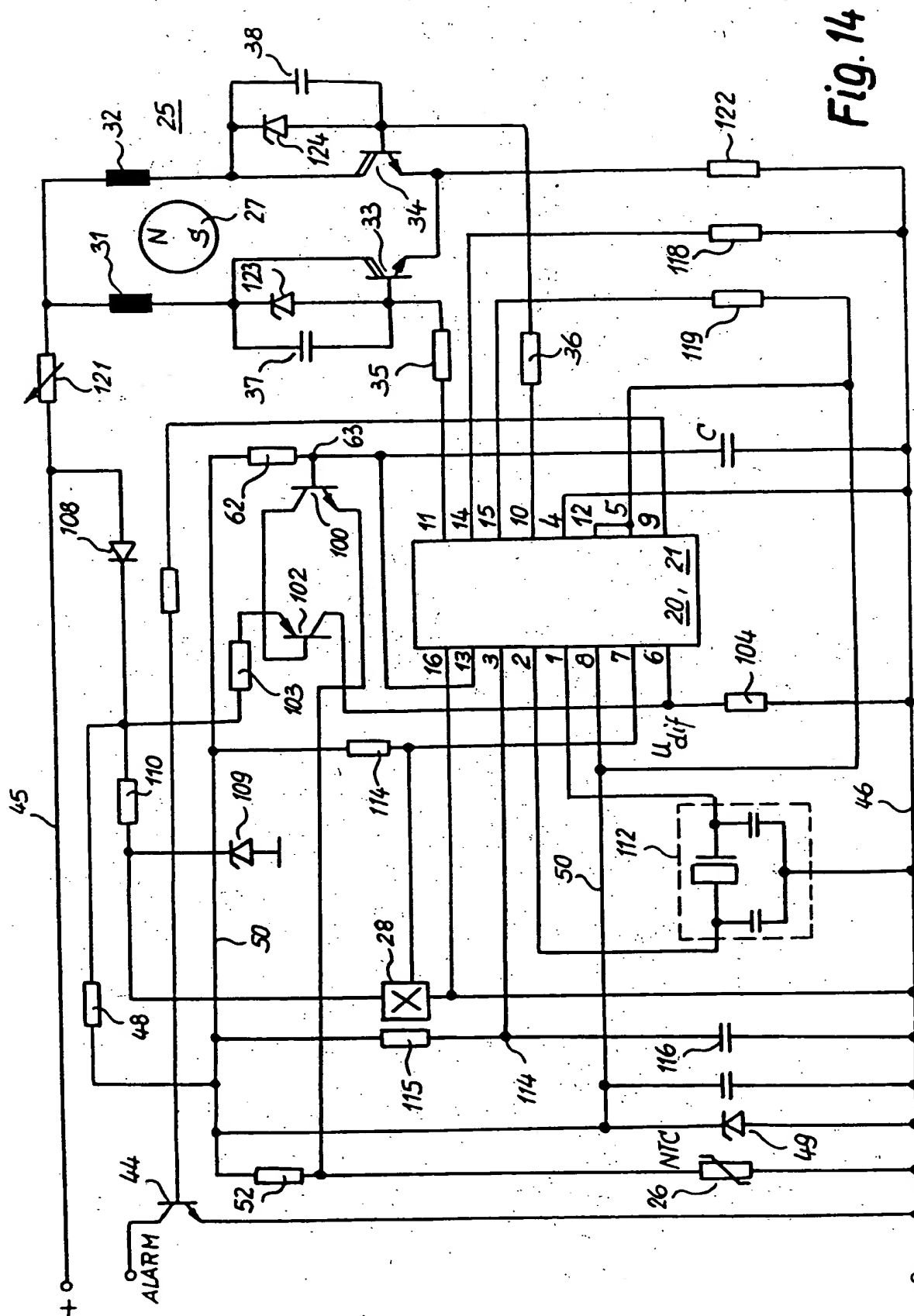
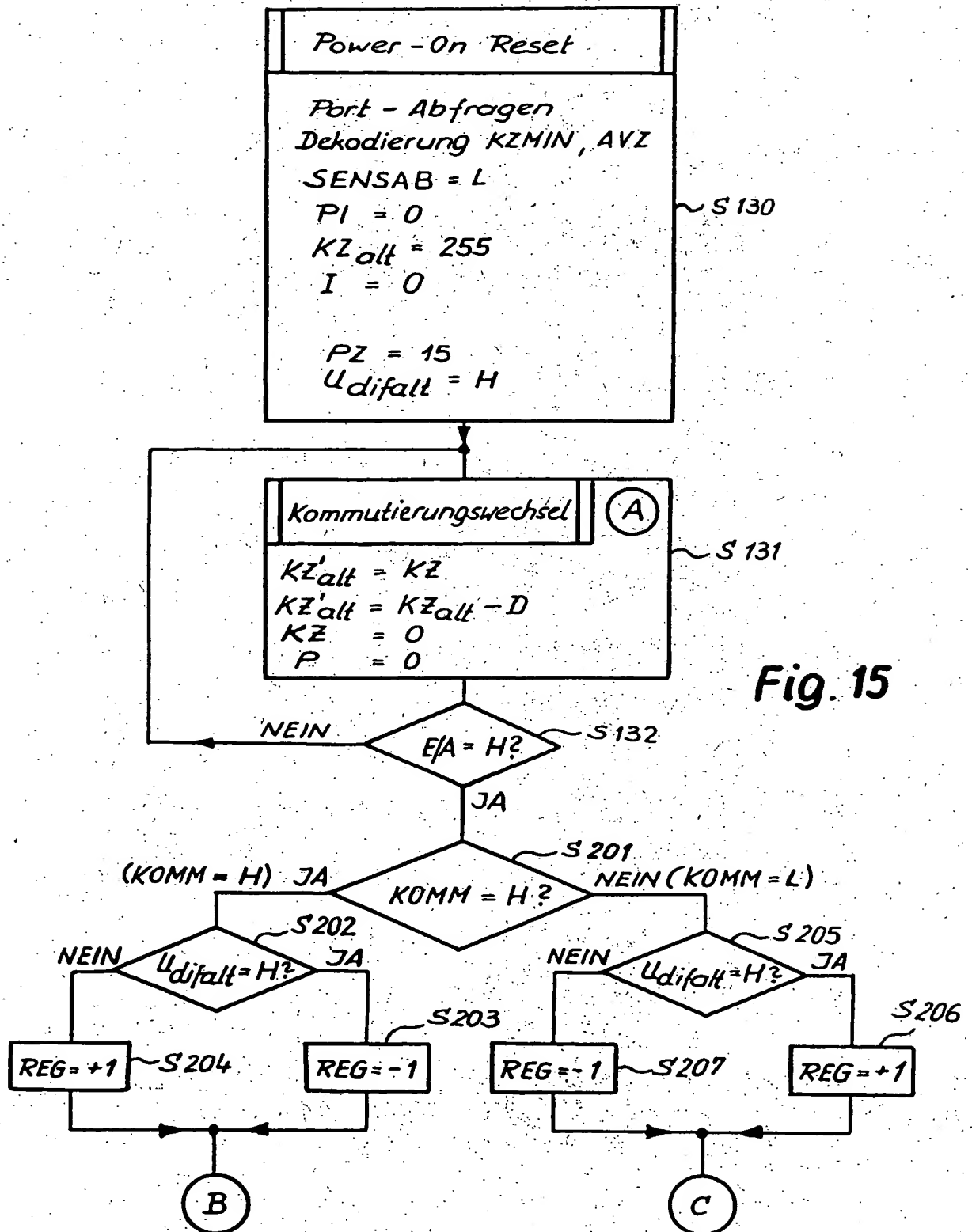
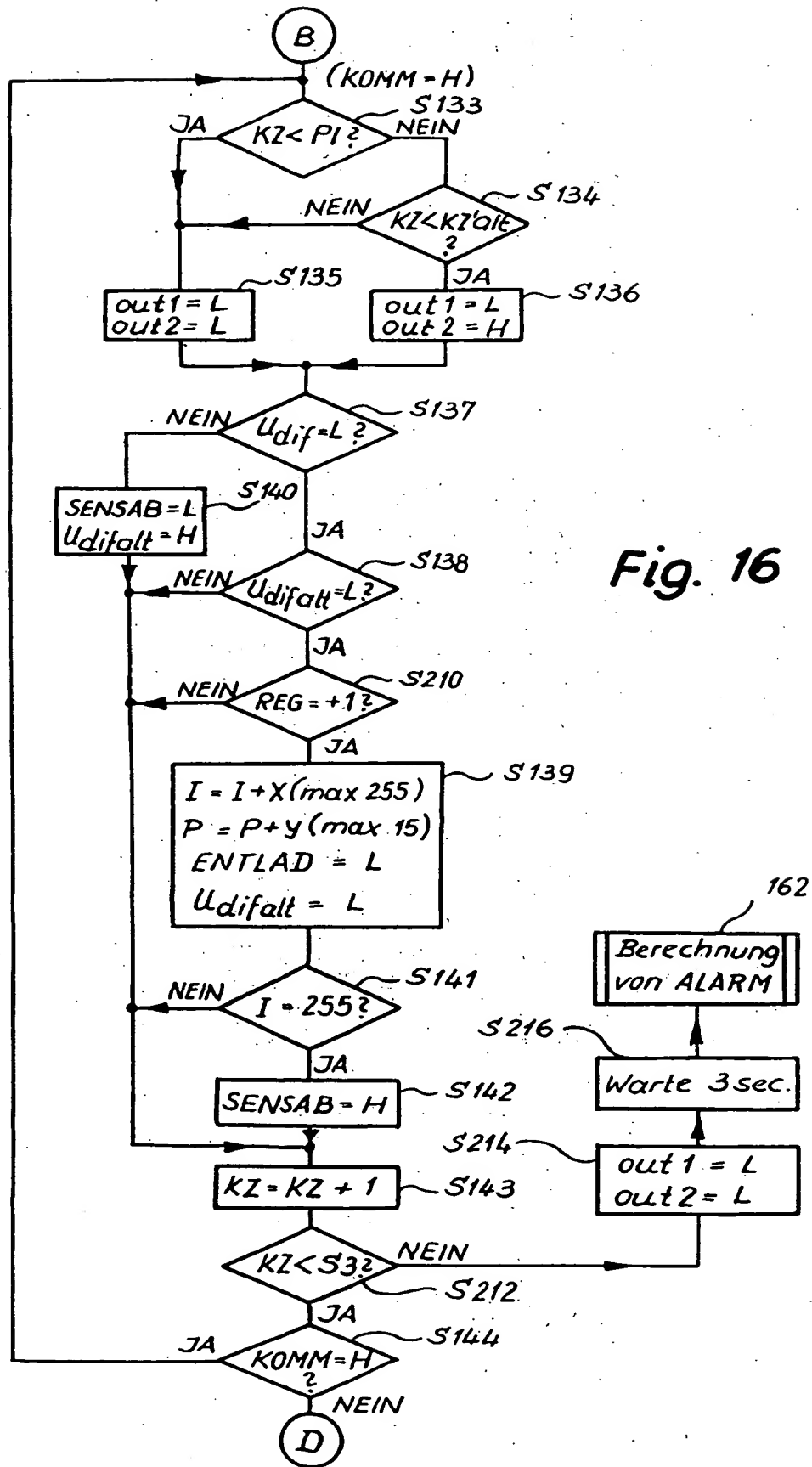
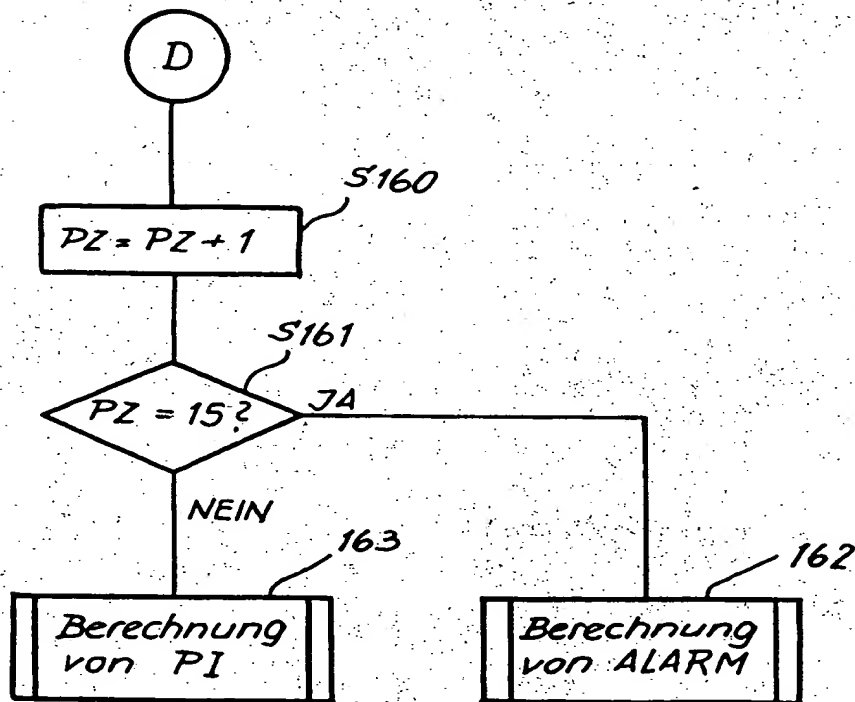


Fig. 14





**Fig. 18**

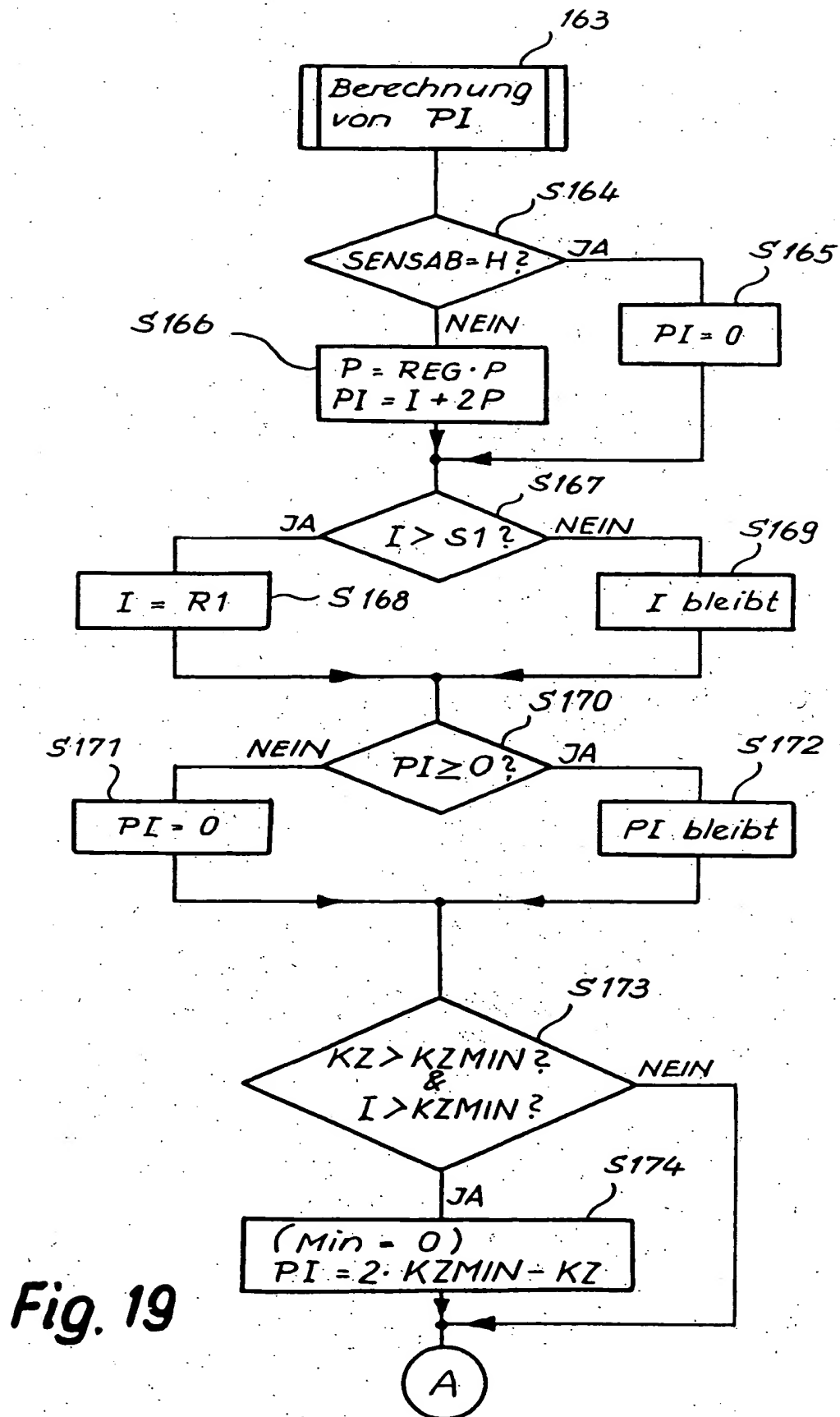


Fig. 19

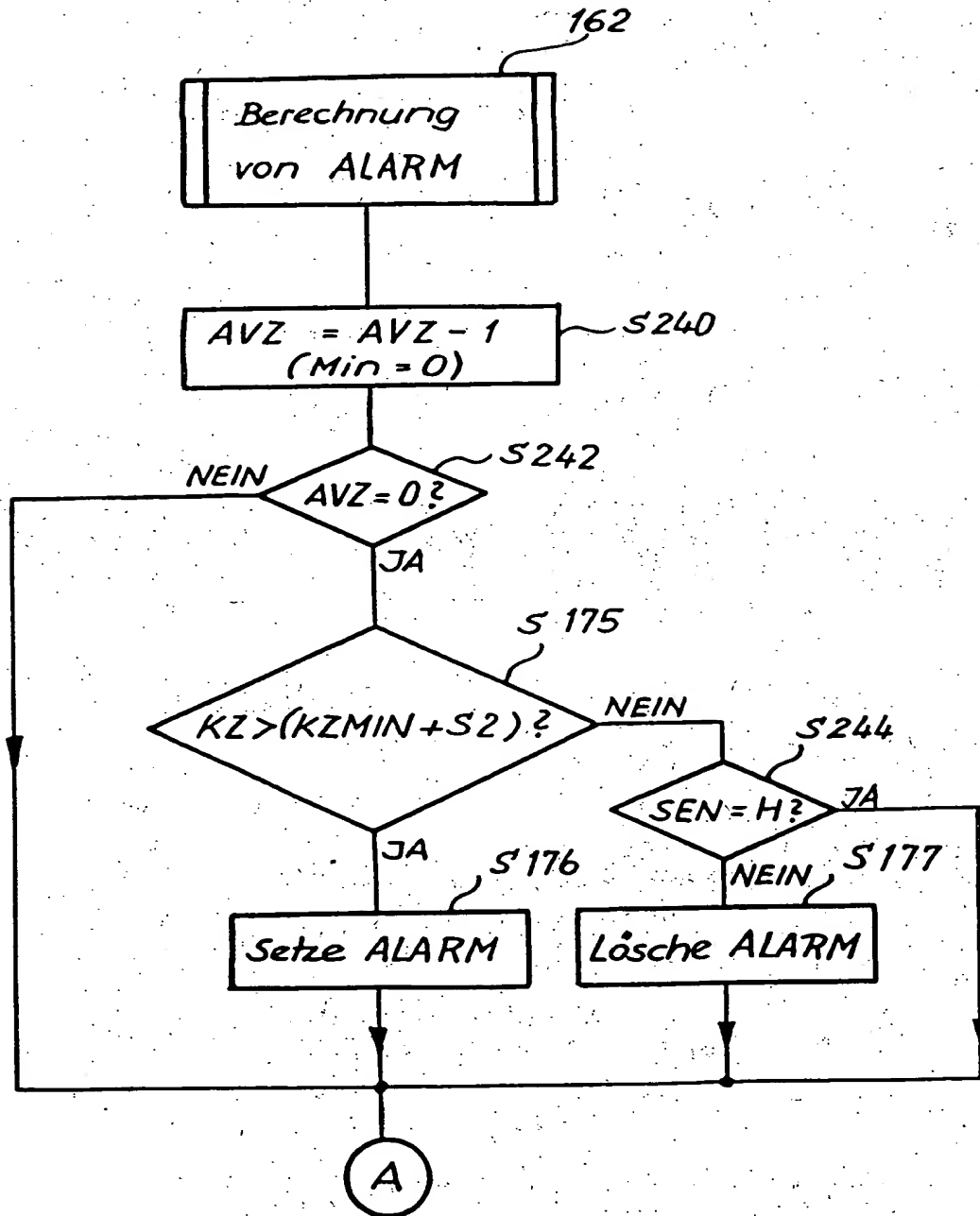


Fig. 20

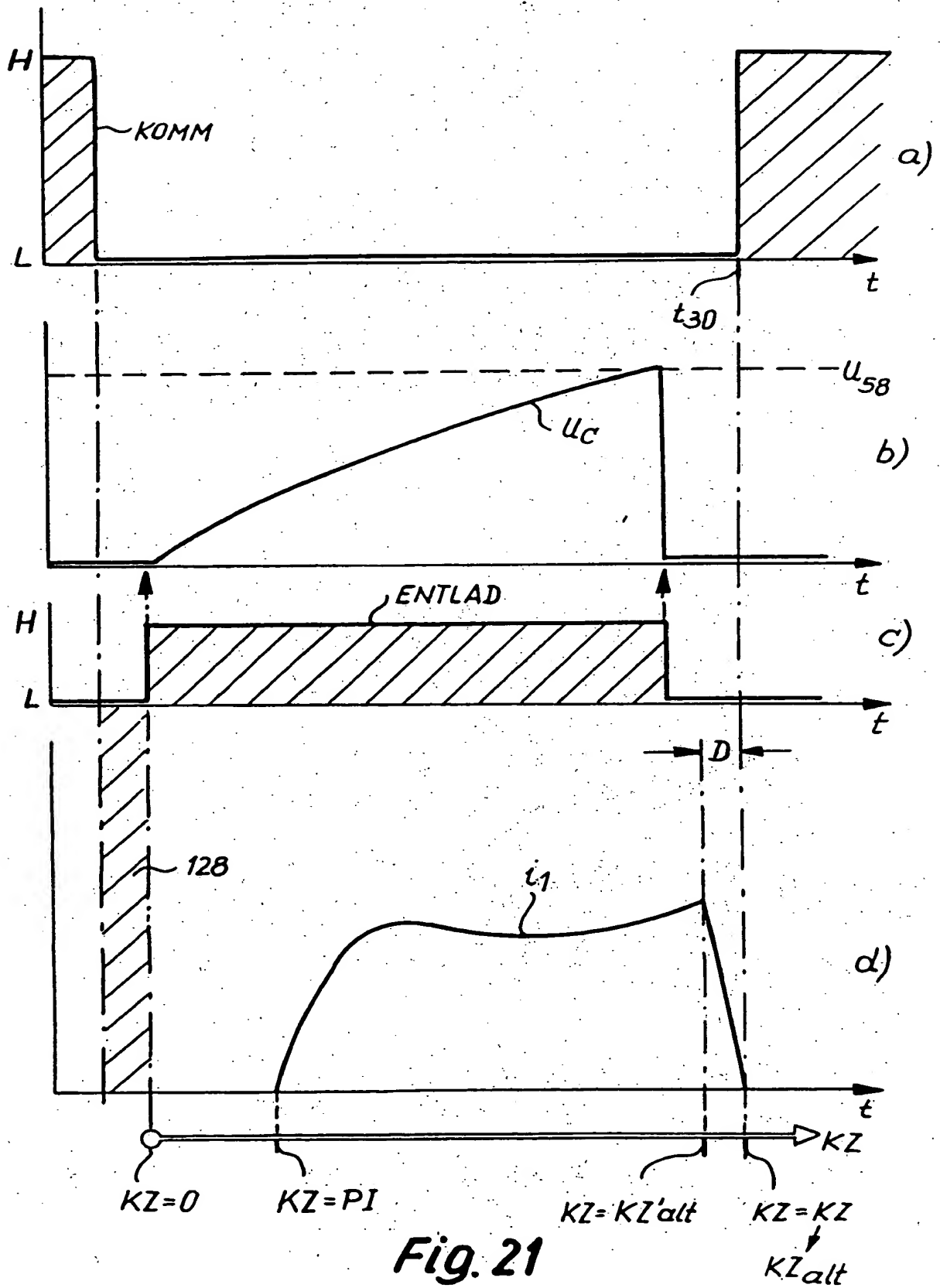
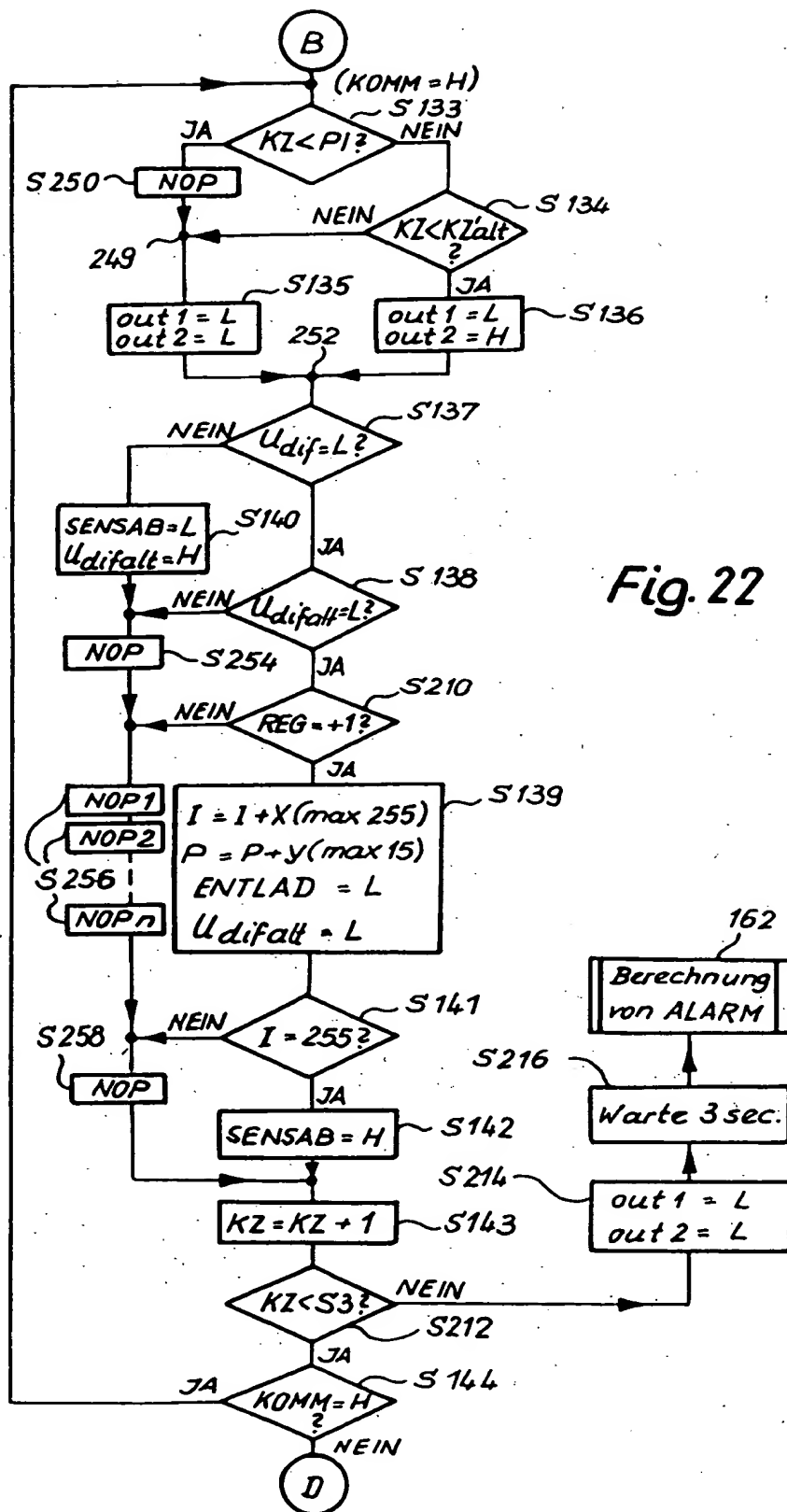
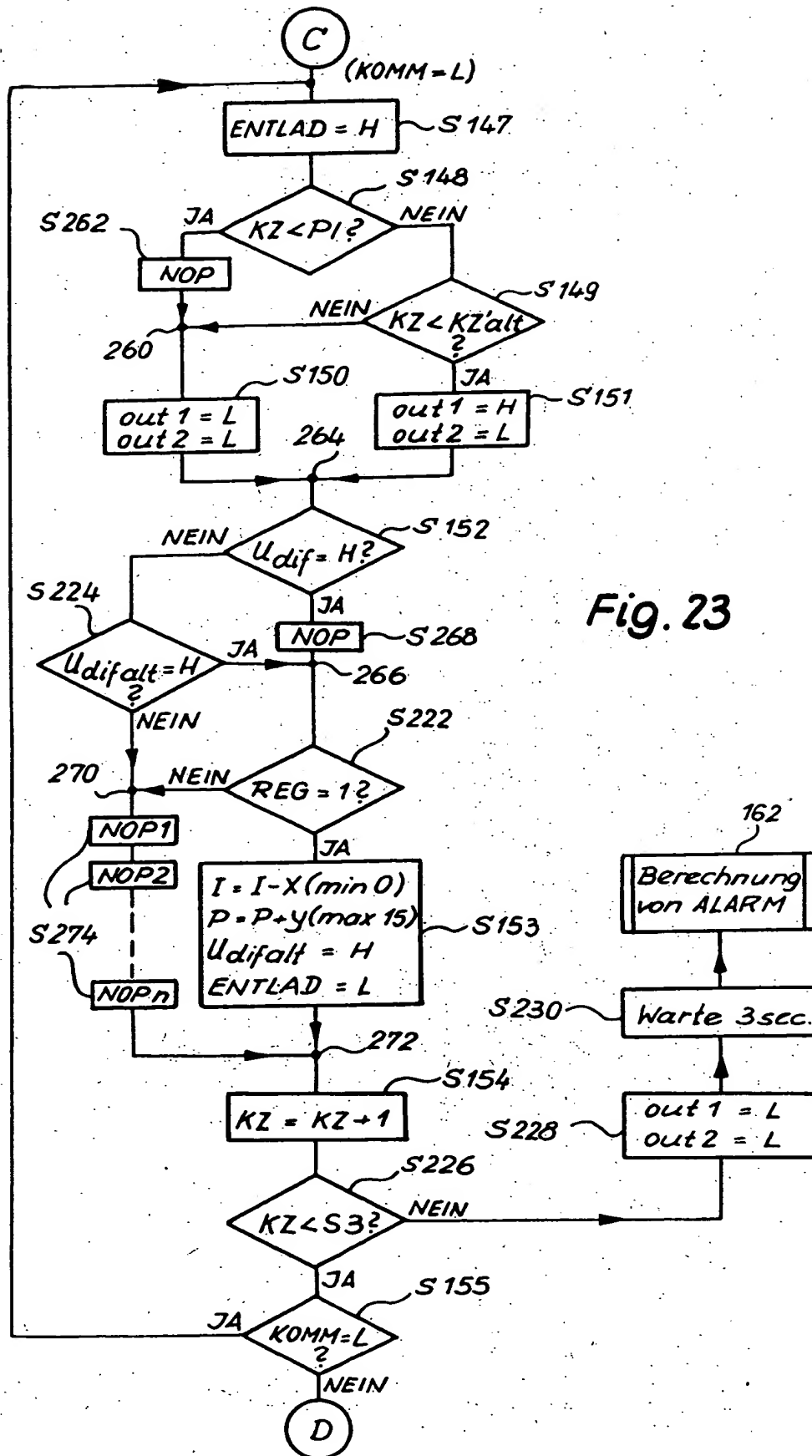
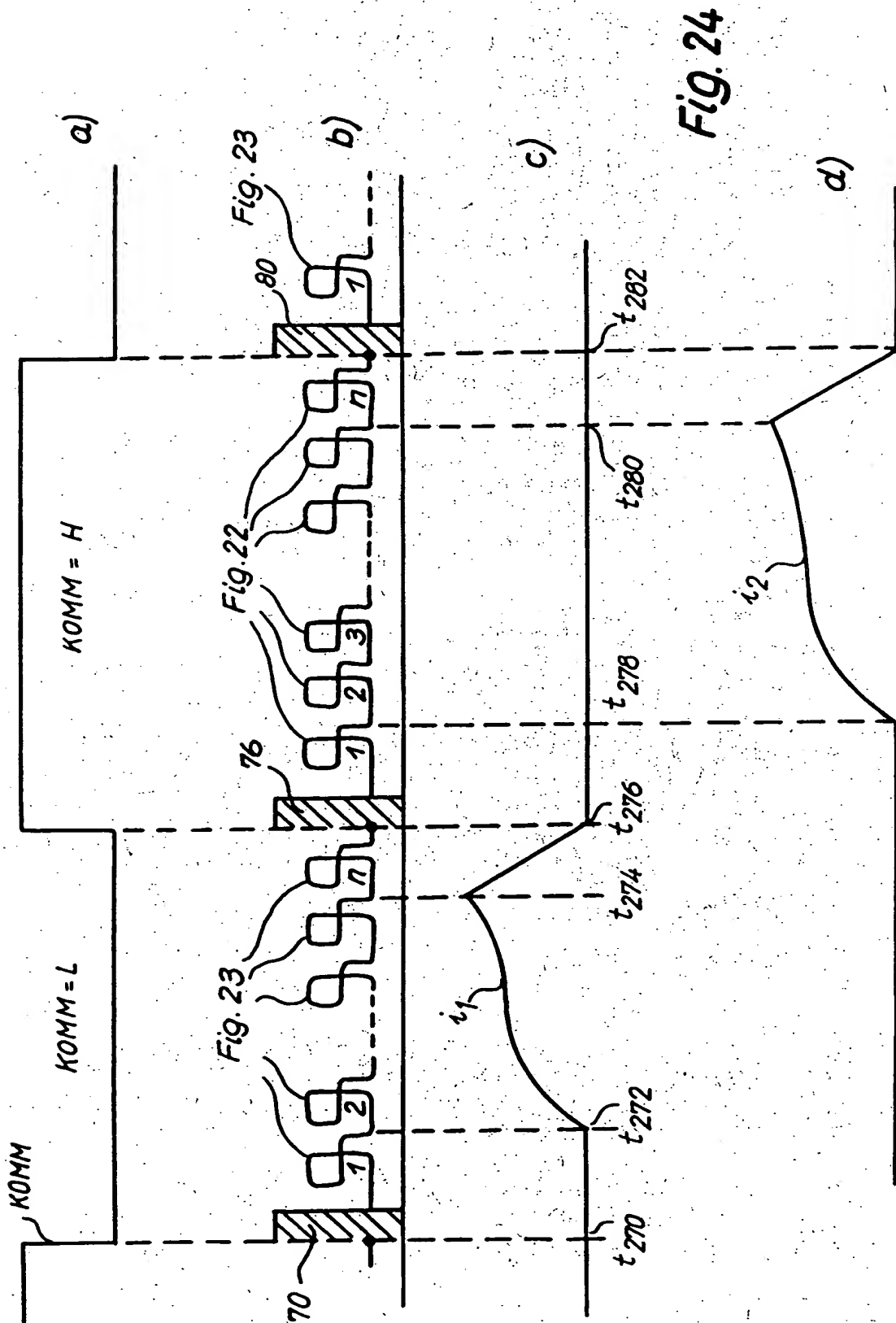


Fig. 21







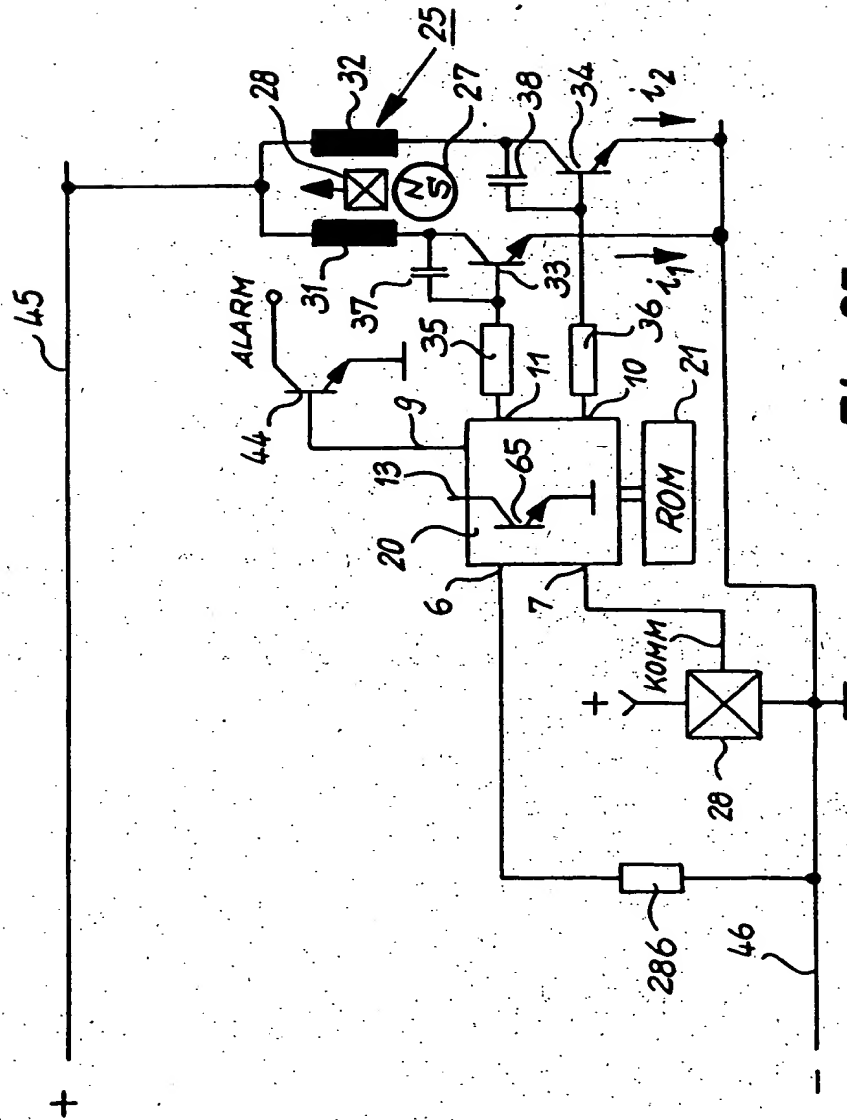


Fig. 25



Europäisches
Patentamt

EUROPÄISCHER RECHERCHENBERICHT

Nummer der Anmeldung
EP 94 11 8283

EINSCHLÄGIGE DOKUMENTE			
Kategorie	Kennzeichnung des Dokuments mit Angabe, soweit erforderlich, der maßgeblichen Teile	Betrifft Anspruch	KLASSIFIKATION DER ANMELDUNG (Int.Cl.6)
A	EP-A-0 084 156 (PAPST-MOTOREN GMBH & CO KG) * Seite 1, Absatz 4 - Seite 2, Absatz 1; Abbildungen 1,2 *	1,28	H02P6/14 H02P6/00 H02H7/093
A	DE-C-37 10 509 (PHILIPS PATENTVERWALTUNG GMBH) * Zusammenfassung; Abbildung 1 *	1,28	
A	DE-A-33 42 986 (PAPST-MOTOREN GMBH & CO KG) * Zusammenfassung; Abbildung 4 *	1,28	
D,A	EP-A-0 425 479 (PAPST-MOTOREN GMBH & CO KG) * das ganze Dokument *	1,28	
A	GB-A-2 247 999 (PAPST PLC) * Zusammenfassung; Abbildung 4 *	33-35	
A	US-A-5 017 846 (G.C. YOUNG ET AL) * Zusammenfassung; Abbildung 1 *	33-35	
			RECHERCHIERTE SACHGEBIETE (Int.Cl.6)
			H02P H02H
Der vorliegende Recherchenbericht wurde für alle Patentansprüche erstellt			
Recherchezort DEN HAAG		Abschließdatum der Recherche 11. April 1995	Prüfer Beyer, F
KATEGORIE DER GENANNTEN DOKUMENTE			
X : von besonderer Bedeutung allein betrachtet Y : von besonderer Bedeutung in Verbindung mit einer anderen Veröffentlichung derselben Kategorie A : technologischer Hintergrund O : mündliche Offenbarung P : Zwischenliteratur			
T : der Erfindung zugrunde liegende Theorien oder Grundsätze E : älteres Patentedokument, das jedoch erst am oder nach dem Anmeldedatum veröffentlicht worden ist D : in der Anmeldung angeführtes Dokument L : aus anderen Gründen angeführtes Dokument * : Mitglied der gleichen Patentfamilie, übereinstimmendes Dokument			



Europäisches
Patentamt

GEBÜHRENPFLICHTIGE PATENTANSPRÜCHE

Die vorliegende europäische Patentanmeldung enthält bei Ihrer Einreichung mehr als zehn Patentansprüche.

- ☐ Alle Anspruchsgebühren wurden innerhalb der vorgeschriebenen Frist entrichtet. Der vorliegende europäische Recherchenbericht wurde für alle Patentansprüche erstellt.
- ☐ Nur ein Teil der Anspruchsgebühren wurde innerhalb der vorgeschriebenen Frist entrichtet. Der vorliegende europäische Recherchenbericht wurde für die ersten zehn sowie für jene Patentansprüche erstellt für die Anspruchsgebühren entrichtet wurden.
nämlich Patentansprüche:
- ☐ Keine der Anspruchsgebühren wurde innerhalb der vorgeschriebenen Frist entrichtet. Der vorliegende europäische Recherchenbericht wurde für die ersten zehn Patentansprüche erstellt.

MANGELNDE EINHEITLICHKEIT DER ERFINDUNG

Nach Auffassung der Recherchenabteilung entspricht die vorliegende europäische Patentanmeldung nicht den Anforderungen an die Einheitlichkeit der Erfindung: sie enthält mehrere Erfindungen oder Gruppen von Erfindungen.
nämlich:

- siehe Beiblatt B -

- ☒ Alle weiteren Recherchegebühren wurden innerhalb der gesetzten Frist entrichtet. Der vorliegende europäische Recherchenbericht wurde für alle Patentansprüche erstellt.
- ☐ Nur ein Teil der weiteren Recherchegebühren wurde innerhalb der gesetzten Frist entrichtet. Der vorliegende europäische Recherchenbericht wurde für die Teile der Anmeldung erstellt, die sich auf Erfindungen beziehen, für die Recherchegebühren entrichtet worden sind.
nämlich Patentansprüche:
- ☐ Keine der weiteren Recherchegebühren wurde innerhalb der gesetzten Frist entrichtet. Der vorliegende europäische Recherchenbericht wurde für die Teile der Anmeldung erstellt, die sich auf die zuerst in den Patentansprüchen erwähnte Erfindung beziehen.
nämlich Patentansprüche:



Europäisches
Patentamt

EP 94 11 8283 -B-

MANGELNDE EINHEITLICHKEIT DER ERFINDUNG

Nach Auffassung der Recherchenabteilung entspricht die vorliegende europäische Patentanmeldung nicht den Anforderungen an die Einheitlichkeit der Erfindung; sie enthält mehrere Erfindungen oder Gruppen von Erfindungen, nämlich:

1. Claims 1-32: Drehzahlregelung
2. Claims 33-36: Ueberwachung der Drehzahl mit Alarm